

## แนวแทกเรียน รีวิวนาน และแนวเส้น

- 8.1 ธรรมชาติแนวแทกเรียน ผลความเครียดต่อแนวแทกเรียน ชนิดแนวแทกเรียน
- 8.2 ธรรมชาติรีวิวนานในพินไน์ไลน์ และในพินแปร
- 8.3 ธรรมชาติแนวเส้น
- 8.4 การเรียกชื่อ
- 8.5 พินทคโทไนด์

## บทที่ 8

### แนวแตกเรียบ ริ้วบนาน และแนวเส้น (Cleavage, Foliation, and Lineation)

ในบทนี้เราจะกำหนดให้แนวแตกเรียบ ริ้วบนาน และแนวเส้นเป็นโครงสร้างรอง(minor structures) ที่ศึกษาได้จากหินโผล่หรือตัวอย่างหิน และเป็นโครงสร้างที่ดีในการแสดงการเปลี่ยนลักษณะของหิน มีประวัติการเปลี่ยนลักษณะที่ได้ถูกบันทึกไว้ในโครงสร้างหิน โครงสร้างรองแบ่งย่อยเป็น 2 ประเภท ประกอบด้วย (1) แนวเส้นซึ่งจัดเป็นโครงสร้างที่แสดงด้วยเส้น(linear structure) ได้แก่ การเรียงตัวของไยแร่(mineral fiber) แนวเส้นไส้กรอก(boudins) แนวเส้นกลอนระนาด(rods and mullions) และแนวเส้นระนาบตัดกัน และ (2) ริ้วบนาน(foliation) ซึ่งเป็นโครงสร้างที่แสดงด้วยระนาบ(planar structures) นั่นคือเราวัดการวางตัวในแนวระดับ(strike) และมุมเท(dip) ได้ ซึ่งแตกต่างจากแนวเส้นที่เราดูค่าทิศการกด(trend) และมุมกดหรือพลันจ์(plunge) ของแนวเส้น ริ้วบนานที่สำคัญได้แก่ สายแร่(veins) แนวฟันในหิน(styolites) แนวแตกเรียบ(cleavage) และแนวการเรียงตัวแบบ S-C fabrics และรอยแยก เป็นต้น

แนวเส้นและริ้วบนานเป็นลักษณะที่ปรากฏในเนื้อหินเรียกว่า เนื้อหิน(rock fabric) ซึ่งคำว่า “fabric” เราไม่ใช้กับการเรียก “เนื้อผ้า” สำหรับหินก็มีเนื้อหิน ซึ่งมักมีรูปแบบต่างๆ ทำให้เราเรียก fabric เช่นเดียวกับผ้าที่เป็นเส้นไขต่างๆ ซึ่งทอประสานกันเป็นเนื้อผ้า และมีทิศทางและลักษณะรูปแบบคล้ายคลึงกันในเนื้อหิน ซึ่งในที่นี่เราได้ให้ความหมายของคำว่า fabric ตามที่ Sander (1970) ได้เสนอไว้ว่าหมายถึง เนื้อหินอันเป็นองค์ประกอบโดยรอบระหว่างขนาด รูปร่าง และรูปแบบของเม็ดแร่ในหิน ส่วนคำว่า “texture” หรือเนื้อหินโดยทั่วไปมีความหมายคล้ายกัน “fabric” แต่สำหรับธรณีวิทยาโครงสร้าง เราไม่ให้ความหมายของ “texture” แตกต่างจาก “fabric” ตรงที่ texture เป็นที่โครงสร้างขนาดเล็ก(microstructure) และจะจะลงถึงรูปแบบการจัดเรียงตัวของโครงสร้างพลิก(crystallographic orientation pattern) ที่ประกอบเป็นหิน เช่น เนื้อหินแกรนิต หรือเนื้อหินทราย เป็นต้น

ในสมัยที่เราเรียนธารณีวิทยากายภาพ เราอาจเข้าใจว่า คำว่าแนวแตกเรียบ ริ้วบนาน และโครงสร้างแนวเส้นอาจมีคำนิยามที่ไม่ต่างกัน ดังที่จะกล่าวในลำดับต่อไป อีกทั้งการเรียกโครงสร้างแนวแตกเรียบและริ้วบนานก็อาจคล้ายคลึงกัน ดังนั้นหากโครงสร้างเกิดในเนื้อหินขนาดเล็ก(fine fabric) เราจึงมักเรียก “แนวแตกเรียบ” เช่น slaty cleavage แต่ถ้านื้อหินมีขนาดใหญ่ (coarse fabric) มักเรียก “ริ้วบนาน” เช่น ริ้วบนานไนส์(gneissic foliation), ริ้วบนานชีส

(schistositic foliation) เหล่านี้เป็นต้น ดังนั้นคำว่าแนวแตกเรียบหรือริวนาน จึงมักปรากฏคู่กัน และให้ถือว่าแนวแตกเรียบเป็นส่วนหนึ่งของริวนาน

### 8.1 ธรรมชาติแนวแตกเรียบ(Nature of cleavages)

โดยปกติชั้นหินตะกอนและหินแปรที่คล้องกับแนวแตกเรียบ(รูป 8.1 และ 8.2) โดยเรา มักพบเห็นว่ามีการแตกเป็นระนาบบางๆ ในที่นี่เรานิยามคำว่า แนวแตกเรียบว่าหมายถึง “รอยแตก เล็กๆ ที่เป็นระนาบตรงหรือโค้ง ซึ่งมีระยะห่างในแต่ละระนาบเพียงเล็กๆ” ด้วยเหตุนี้แนวแตกเรียบ จึงมักพบร่วมกับชั้นหินโค้งโดยมีทิศทางแนวแตกบนหินหรือกึ่งบนกับแกนโค้ง(axial plane cleavage) และทำให้เราแบ่งแนวแตกเรียบว่ามีทั้งแบบที่ทะลุทะลวง(penetrative) และไม่ทะลุ ทะลวง เช่นไปในเนื้อหิน คำว่าทะลุทะลวงในที่นี้หมายถึงจะต้องพบรอยแตกในทุกมาตรราส่วนการสังเกต ดังนั้น การเกิดรอยแยกที่มีขนาดกว้างๆ จึงไม่ถือเป็นแบบทะลุทะลวง เพราะไม่ได้เกิดทั่วไปใน เนื้อหิน แต่ถ้าเราดูในแผ่นหินบางเรามักไม่พบรอยเปลี่ยนลักษณะในเนื้อหิน หากพบรอยแตกในทุกมาตรา ส่วนของการสังเกต เราถือว่าเป็นแบบทะลุทะลวงซึ่งตรงกันข้ามกับโครงสร้างแบบไม่ทะลุ ทะลวง(non-penetrative structure) (รูป 8.3) ซึ่งลักษณะโครงสร้างทะลุทะลวงนี้มักพบตัดเช่นไปใน ชั้นหินในทิศทางต่างๆ โดยที่การวางตัวของชั้นหินไม่ได้มีผลต่อการเกิดแนวแตกนั้นๆ และเมื่อหิน มีแนวแตกเรียบเราทุบทินจะพบว่าหินแตกตามแนวแตกเรียบ

โดยแท้จริงแล้ว แนวแตกเรียบต่างจากรอยแตกทั่วไปตรงที่แนวแตกเรียบมักเกิดโดยไม่มี การสูญเสียแรงยึดเหนี่ยวระหว่างเนื้อหิน(cohesive force) ด้วยเหตุนี้ผิวระนาบแนวแตกเรียบจึง แตกต่างจากผิวระนาบรอยแตกชนิดอื่น เช่น รอยแยก รอยเดือน และรอยแตกเฉือน อีกทั้งแนว แตกเรียบในหิน(rock cleavage) มีลักษณะที่คล่องตัวในบทนี้แตกต่างจากแนวแตกเรียบในแร่(mineral cleavage) เพราะมีลักษณะการเปลี่ยนลักษณะที่ไม่สัมพันธ์กัน หินที่มีแนวแตกเรียบมักจะเป็นหิน ที่แสดงการโค้ง แต่ชั้นหินโค้งไม่จำเป็นต้องมีแนวแตกเรียบ ดังนั้นถ้าเราพบที่นี่มีแนวแตก เรียบ เราอาจบอกได้ว่าหินนี้มีการโค้งอย่างแน่นอน และโดยทั่วไปแนวแตกเรียบอันเป็นผลมา จากการคดโค้งมักเป็นแนวที่ขนานหรือเกือบขนานกับแกนโค้ง(fold axis หรือ axial plane) ซึ่ง โดยทั่วไปเรามักเรียกรอยแตกลักษณะนี้ว่า แนวแตกเรียบตามแกนโค้ง(axial plane cleavage) (รูป 8.1)

โดยปกติรามักไม่เห็นแนวแตกเรียบบนหินไปกับกระบวนการการโค้งจริงๆ ในสนาน (รูป 8.4 ก) แต่อาจพบแนวแตกเรียบเปลี่ยนทิศทางเมื่อตัดเช่นไปในหินต่างชนิดกัน ทำให้ได้เห็นแนวแตกเรียบ กระจายออกเป็นรูปพัดที่เรียกว่า แนวแตกเรียบรูปพัด(fan cleavage) (รูป 8.3ข) ดังนั้นในกรณีที่ชั้น หินแสดงการลับกันระหว่างชั้นหินเนื้ออ่อน(soft bed) กับชั้นหินเนื้อแข็ง(hard or stiff bed) เช่น หินทรายที่แข็งกว่าลับกันหินดินดานที่อ่อนตัวกว่า แนวแตกเรียบที่เกิดในหินทรายมักตั้งฉากกับ ระนาบชั้นหิน และหากเหอออกโดยทำมุมแหลมกับชั้นหินดินดาน (รูป 8.4 ข) ซึ่งเรามักเรียกการ

เปลี่ยนมุมแนวแตกเรียบกับชั้นหินต่างชนิดว่า แนวแตกเรียบหักเห(cleavage refraction) ให้สังเกตแนวแตกเรียบในรูป 8.5 ว่าปรากฏเป็นแนวโถง เมื่อมีเม็ดตะกอนแสดงการคัดขนาดเม็ด จะเห็นมุมของแนวแตกเรียบลดลงเมื่อมีเม็ดตะกอนขนาดเล็กลง

ในการผ่านที่เป็นชั้นหินโถงพลิกกลับ(overturned folds) ถ้าเราพบว่ามุมเทของชั้นหินน้อยกว่า มุมเทของ (normal beds) (รูป 8.6) แต่ถ้าเราพบว่าแนวแตกเรียบทามมุมเทน้อยกว่ามุมเทของชั้นหิน แสดงว่าชั้นหินนั้นมีแนวเป็นแนวพลิกกลับ(overturn beds) (รูป 8.6) จากลักษณะความสัมพันธ์ระหว่างแนวแตกเรียบตามแกนของชั้นหินโถงและชั้นหินช่วยให้เราสร้างภาพของชั้นหินคดโถงได้ดังแสดงในรูป 8.7

หากายครั้งที่เราพบเห็นหินถูกเฉือน แต่ไม่พบว่าชั้นหินแสดงการโถงให้เห็น แต่เรากลับพบเพียงแนวแตกเรียบท่านนั้น เช่นที่แสดงในรูป 8.8 และ 8.9 ซึ่งโดยทั่วไป แนวแตกเรียบแสดงถึงการขัดตัวตามยาวที่อยู่ในระนาบของ  $S_1S_2$  ของวงรี ความเครียดทำให้เราสามารถบ่งบอกถึงทิศทางการเคลื่อนที่ของรอยเดือนในเขตรอยเดือนและเขตรอยแตกเฉือนได้

จากการวิเคราะห์แนวแตกเรียบในหินอย่างละเอียด เราพบว่าแนวแตกเรียบส่วนใหญ่แสดงถึงการจัดตัวของแร่ ขนาดและรูปร่างเม็ดแร่ ตลอดจนการจัดเรียงตัวกันในเนื้อหินที่เป็นไปอย่างมีระบบ จากลักษณะการเรียงตัวอย่างมีระบบนี้เองทำให้เราทราบว่า แนวแตกเรียบในหิน ไม่ใช่โครงสร้างปฐมภูมิ แต่เป็นผลจากการเปลี่ยนลักษณะภายในหลังที่โครงสร้างทุติยภูมิเกิดขึ้นแล้ว

จากลักษณะที่ปรากฏของเนื้อหินและการจัดเรียงตัวกันในหินทำให้เราแยกแนวแตกเรียบในหินได้เป็น 2 อาณาจักรหรือ 2 แบบ ได้แก่ (1) แบบแนวแตกเรียบ(cleavage domain) และ (2) แบบศิลปะจุดภาค(microlithon domain) (ดูรูป 8.10) แบบแนวแตกเรียบมักปรากฏให้เห็นคล้ายริเวชนา(foliation) จึงมักไม่แสดงด้วยการเรียงตัวของแร่โดยเฉพาะแร่ไมกาไปในแนวขนานกันหรือช้อนกับกันไปมาเหมือนการถักปีก(anastomosing) หรือมีร่องบางตัวถูกทำให้สลายตัวไปจนเหลือเพียงบางส่วนไว้เป็นแนวๆ แร่ที่อยู่ในแบบของแนวแตกเรียบจึงเรียงตัวตามแนวใดแนวหนึ่งจนแตกต่างจากหินดังเดิม ส่วนกอุ่มแร่ที่อยู่ในแบบศิลปะจุดภาคคงสภาพของหินเดิมไว้บางส่วนหรือทั้งหมด (รูป 8.10) ซึ่งเราอาจพบแบบแนวแตกทั้ง 2 แบบได้ทั้งในหินโผล่และในแผ่นหินบาง

### 8.1.1 ชนิดแนวแตกเรียบ

Powell(1979) ได้จำแนกแนวแตกเรียบออกเป็น 2 ชนิดอย่างง่าย โดยอาศัยการมองเห็นความต่อเนื่องของแนวแตกเป็นหลัก ได้แก่ แนวแตกต่อเนื่อง และแนวแตกไม่ต่อเนื่อง โดยที่ถ้าแบบแนวแตกเรียบ(cleavage domain) และแบบศิลปะจุดภาค(microlithon domain) ที่สามารถมองเห็นด้วยตาเปล่าเราเรียกว่า แนวแตกเรียบไม่ต่อเนื่อง(spaced cleavage) ซึ่งหมายถึงเราพบว่าแนวแตก

ขาดหายไป แต่ถ้าเราไม่สามารถแยกแยะแนวแตกเรียบออกจากแนวศิลาจุลภาคได้ด้วยตาเปล่า เรา ก็เรียกแนวแตกนั้นว่า แนวแตกเรียบต่อเนื่อง(continuous cleavage)

อย่างไรก็ตาม Twiss & Moores(1992) ได้แบ่งแนวแตกเรียบและริ้วนานที่แตกต่างไปจากของ Powell (1979) ดังแสดงในรูป 8.12 โดยที่ พอกเขานั้นว่าการจัดแบ่งโดยนำอาชีวเรียบที่แสดงถึงการเกิด (origin) โครงสร้างมาจำแนกอาจทำให้เกิดการเข้าใจผิดได้ง่าย ตัวอย่างเช่น เมื่อบรรยายว่าหินมีแนวแตกเรียบแบบหินชั้น (slaty cleavage) จะทำให้คนส่วนใหญ่เข้าใจว่าเป็นหินชั้นที่เกิดจากการประสภาพแบบไฟ喀ล ทั้งๆ ที่หินนั้นเกิดแนวแตกเรียบเป็นแผ่นแต่มีระยะไม่ต่อเนื่อง (disjunctive) ซึ่งเกิดจากการเฉือนได้ เป็นต้น ดังนั้น Twiss & Moores (1992) จึงจำแนกแนวแตกต่อเนื่องออกเป็น 2 พากใหญ่ๆ คือ พากที่มีผลึกละเอียด(fine-grained) กับพากที่มีผลึกหยาบ(coarse-grained) โดยพากผลึกละเอียดยังแบ่งย่อยออกเป็นอีก 3 ชนิด (ดูรูป 8.12)

**แนวแตกเรียบต่อเนื่อง(Continuous cleavage)** ที่ Powell(1979) จัดแบ่งประกอบด้วยแนวแตกเรียบหินชั้น(slaty cleavage), แนวแตกเรียบหินฟิลโลว์(phyllitic structure) และแนวแตกเรียบหินชีส(schistosity)

**แนวแตกเรียบหินชั้น(Slaty cleavage)** มักเกิดในหินที่มีขนาดเม็ดแร่เล็กกว่า 0.5 มิลลิเมตร และมักประกอบด้วยกลุ่มของแร่ควอตซ์ เฟสเดสปาร์ และไนก้า ที่سانเกี่ยวกันเป็นเกลียวหรือเป็นปีก(anatomosing) เมื่อหินถูกประสภาพที่อุณหภูมิต่ำ ทำให้เกิดแนวแตกเรียบหินชั้นได้ โดยที่เมื่อแกะออกหินจะแตกเป็นแผ่นเรียบ ซึ่งผู้คนมักนำมาใช้เป็นฝาบ้านเรือนได้สวยงาม และเรียกทั่วไปว่าหินกาน หรือหินกระดานสำหรับเจียนที่เรียกว่า กระดานชั้น (มีหินชั้นที่สวยงามอยู่เป็นจำนวนมากในบริเวณอำเภอปากช่อง จังหวัดนครราชสีมา) โดยที่ชั้นบางๆ ที่ประกอบด้วยแร่ไมกาหรือแร่แพร์มากๆ เรียก อาณาจกรเอ็ม(M-domain) ในแบบแนวแตกเรียบและแบบที่มักเป็นเดนซ์ชาดเป็นช่วงๆ ของกลุ่มแร่ควอตซ์และเฟสเดสปาร์ เรียก อาณาจกรคิว-เอฟ(QF domain) ในแบบศิลาจุลภาค ส่วน Twiss & Moores จำแนกแนวแตกเรียบแบบต่อเนื่อง ดังกล่าวเป็นประเภทแนวแตกเรียบระยะไม่ต่อเนื่อง(microdisjunctive cleavage) โดยไม่ระบุถึงชื่อหิน

**แนวแตกเรียบหินชีส(Schistosity)** มักพบในหินที่มีขนาดเม็ดแร่ระหว่าง 1 ถึง 10 มิลลิเมตร โดยพบแร่ตระกูลไมกามากมายปราฏเป็นแผ่นบางๆ ซึ่งส่วนใหญ่พบว่ามีการเกิดตกผลึกใหม่ (recrystallization) ที่เป็นผลมาจากการหินถูกประสภาพที่อุณหภูมิและความดันปานกลาง (แต่มากกว่าช่วงการเกิดแนวแตกเรียบหินชั้น) จึงทำให้แร่เรียงตัวต่อเนื่อง โดยเฉพาะแร่ตระกูลไมกา เช่น มัสโคไวต์(muscovite) ไบโอไทด์(biotite) คลอไรด์(chlorite) และซิริไซต์(sericite) นอกจากนี้ในบริเวณเขตรอยแตกเฉือนอาจมีโครงสร้างหินชีสเกิดขึ้นได้ โดยมีการเฉือนในหินเดิม(คือแกรนิต) ภายใต้สภาวะที่มีน้ำเข้าร่วมในปฏิกิริยาจนทำให้แร่เฟสเดสปาร์ในหิน(แกรนิต)เปลี่ยนเป็นไมกา

**แนวแตกเรียบหินฟิลไคลต์(Phylliticity)** มักพบในหินที่มีขนาดเม็ดแร่ระหว่างแนวแตกเรียบหินชั้นวน และแนวแตกเรียบหินชีส คือระหว่าง 0.5-1.0 มิลลิเมตร บริเวณหินโพล่าจะพบหินฟิลไคลต์(phylite) มีความวาวเมื่อกระทบกับแสงแดด แต่ไม่พบร่วมกับหินชั้นวน เช่นเดียวกับหินชีส ซึ่งหินฟิลไคลต์มักแยกได้เป็นแผ่นๆ น้อยกว่าหินชั้นวน แต่ก็สามารถแยกออกเป็นแผ่นได้

**แนวแตกเรียบแบบไม่ต่อเนื่อง(Spaced cleavage)** แนวแตกเรียบแบบไม่ต่อเนื่อง แบ่งออกได้อีก 2 ประเภท คือ แนวแตกเรียบทั่งระยะ กับแนวแตกเรียบตัดกัน

(1) **แนวแตกเรียบทั่งระยะ(Disjunctive cleavage)** แนวแตกแบบนี้ประกอบด้วยແບນแนวแตกเรียบ และແບນศิลป์จุลภาค ซึ่งแนวแตกเรียบมักเป็นแนววนเกล็กๆ ไปจนถึงแนวที่ประสานสายกับกันไปมาเหมือนถักปีก(anastomosing) หรือพบคล้ายรอยแตกที่มีขนาดเม็ดแร่เท่าดินหรือแคลไซต์แทรกอยู่ในช่องว่างของแนวแตกในชั้นหินที่โค้งเด่นไม่ถูกประสงค์(รูป 8.14, 8.15 และ 8.16) ซึ่งคำว่า “disjunctive” มาจากภาษาลาตินว่า “disjunctus” หมายถึง “ไม่เชื่อมกัน(disjoined) หรือขาดออกจากกัน(detached)” ซึ่งโดยมากเร้มักพบแนวรอยแตกเรียบทั่งระยะ(disjunctive cleavage) ในหินปูนสกปรก มาร์ค และหินทราย ระยะทางของแนวแตกเรียบแบบนี้ตั้งแต่ 1 ถึง 10 เซนติเมตร ดังนั้นในແບນศิลป์จุลภาคจึงหนามาก ส่วนความหนาของเม็ดดินที่แทรก(ประมาณ 0.02-1.0 มิลลิเมตร) โดยมีเงื่อนไขสำคัญของแนวแตกเรียบทั่งระยะ คือ มีการแสดงด้วยการเดือน(offset) และไม่พบรอยครุฑ์ใดๆ ในผิวระนาบของแนวแตกเรียบ

(2) **แนวแตกเรียบตัดกัน(Crenulation cleavage)** แนวแตกแบบนี้ແບນแนวแตกเรียบซึ่งตัดกับแนวแตกเรียบเดินหรือริ้ววน(foliation) ที่เกิดอยู่ก่อน และแบ่งย่อยออกเป็น 2 ชนิดย่อยได้แก่ (ก) พ梧ที่ตัดกันแบบชัดเจน(discrete crenulation) และ(ข) พ梧ที่ตัดกันไม่ชัดเจน (zonal crenulation) (ดูรูป 8.17 และ 8.18) พ梧แรกมักแสดงแนวแตกเรียบที่คล้ายกับมีแนวเดือนเกล็กๆ และมักพบในหินชั้นวน ส่วนพ梧หลังมักแสดงลักษณะเหมือนกับมีแนวโคลงเกล็กๆ มักพบทั้งในหินชั้นวนและหินฟิลไคลต์ ทั้งนี้เพราะต้องการแนวแตกเรียบหรือริ้ววนนั้นมาก่อน จึงจะสามารถเกิดแนวแตกเรียบขึ้นมาซ้อนทับได้

**แนวแตกเรียบริ้ววนนາพสม(compositional foliation)** มักพบเป็นชั้นบางที่มีการเรียงตัวของแร่ต่างชนิดกันประกอบอยู่ในเนื้อหิน จึงทำให้หินอ่อนตัวได้มากตามแนวระนาบ(weak plane) แบ่งเป็น 2 ชนิด ได้แก่ แนวแตกเรียบที่แสดงแนวการเรียงตัวของแร่ที่มีระยะห่างพอของหิน ได้ด้วยตาเปล่าที่เรียกว่า ริ้ววนนາพสมห่าง(diffusion foliation) เช่น แอบ(band)แร่ไฟroxene ในหินดันไนต์(dunite) ส่วนอีกพ梧แสดงแนวการเรียงตัวของแร่ที่มีระยะห่างน้อยที่เรียกริ้ววนนາพสมค์(banded foliation) เช่น แอบแร่ในหินไนส์(gneiss)

**แนวแตกเรียบต่อเนื่องที่ Twiss และ Moores** ได้เสนอไว้โดยให้ใช้ระยะห่างระหว่างແບນแนวแตกเรียบ(หรือແບນแนวศิลป์จุลภาค)ว่าต้องน้อยกว่า 10  $\mu\text{m}$  และพ梧ขาดได้แบ่งย่อยแนวแตก

แบบนี้ออกเป็น 2 ชนิด โดยใช้เนื้อหินเป็นเกณฑ์(fabric criterion) โดยกล้องจุลทรรศน์ กล่าวคือถ้าเนื้อหินค่อนข้างเป็นเนื้อเดียวกันคือ แยกความแตกต่างระหว่างแอบรอยแตกกับแอบคลาจุลภาคได้ไม่ชัดเจน ซึ่งเราเรียกว่าขานต่อเนื่องขยาย(coarse continuous foliation) เช่น ริเวรานในหินอ่อน หรือหินชีสต์ แต่ถ้าหากแยกความแตกต่างได้ชัดเจนระหว่างแอบรอยแตกเรียบกับแอบคลาจุลภาคจัดว่าเป็นริเวรานต่อเนื่องละเอียด(fine continuous foliation)

ส่วนคำว่าแนวแตกเรียบแยก(fracture cleavage) จัดว่าเป็นรอยแตกที่เกิดหลังจากแนวแตกเรียบหรือริเวรานแต่ไม่ใช่เป็นแนวแตกเรียบหรือริเวรานที่เกิดจากการรอยแตก ส่วนคำว่าแนวแตกเรียบเฉือน(shear cleavage หรือ strain-slip cleavage) ใช้ในความหมายเหมือนกับแนวแตกเรียบตัดกัน(crenulation cleavage)

### 8.1.2 ความสำคัญของความเครียดต่อแนวแตกเรียบ

การเกิดแนวแตกเรียบเป็นที่โต้เคียงในบรรดานักธรณีวิทยามานับศตวรรษ ไม่ว่าจะเป็นความสัมพันธ์ระหว่างแนวแตกเรียบกับชั้นหินโcos บทบาทของแนวแตกเรียบกับกระบวนการโค้งงอ การเรียงตัวของเม็ดแร่ตามแนวแตกเรียบ การแยกตัวและจัดกลุ่มของไมากา ควอตซ์ และเฟสต์สปาร์ การพบแร่ดินในบริเวณแนวแตกเรียบไม่ต่อเนื่อง การเติบโต(overgrowth) ของแร่คลอไรต์ และควอตซ์ ตลอดจนการขาดหายไปของชากระดิกคำบรรพ์ที่บุบเบี้ยวกับแนวแตกเรียบ

เป็นที่เชื่อกันในปัจจุบันว่าแนวแตกเรียบเป็นผลจากการละลายความดัน(pressure solution) โดยที่มีแร่ในเนื้อหินละลายออกไปบางส่วน ซึ่งอาจมาจากการแยกน้ำหนักกดทับหรือจากการแปรสัณฐาน จึงทำให้แร่ภายในเนื้อหินที่เหลือจัดเรียงตัวใหม่(rearrangement) มีการตกผลึกใหม่(recrystallization) จึงไม่มีการเกิดการเคลื่อนเนื่องจากแรง ส่วนชากระดิกคำบรรพ์ถูกละลายออกไปจนทำให้ขาดบางส่วนหายไปไม่สมบูรณ์ตามแนวแตกเรียบ ทั้งนี้จึงไม่ใช่ผลจากการแรงเคลื่อน และเป็นที่ทราบกันดีว่าแนวแตกเรียบหินดินดานมักเกิดร่วมกับการคดโค้ง ซึ่งมักอธิบายว่าการคดโค้งแสดงถึงการหลุดสันตัวของหินเปลือกโลกจึงเป็นผลทำให้เกิดแนวแตกเรียบด้วย

ชากระดิกคำบรรพ์ในหินชั้นวนมักพบชากระดิกเป็นแผ่นแนวนอนตามแนวแตกเรียบจนทำให้ Phillips (1844) พบความสัมพันธ์ระหว่างการบุบเบี้ยของชากระดิกคำบรรพ์กับแนวแตกเรียบในหน้าเหมือนหินดินดานของเวลส์ ทำให้บ่งบอกถึงภาวะการผันผวนสันต์ ต่อมากับ Sharpe (1847) ได้ชี้ให้เห็นได้ว่าการที่ชากระดิกคำบรรพ์เป็นแผ่นเรียบขนาดนักกับแนวแตกนั้นเป็นผลมาจากการคดโค้ง จนทำให้แนวแตกเรียบขนาดหินหรือสมมาตรไปกับแกนชั้นหินโcos โดยที่แนวแตกเรียบหินชั้นวนเกิดตั้งจากกับทิศเครียดค่าน้อยที่สุด( $S_3$ ) และเชื่อว่าแนวแตกเรียบหินชั้นวนที่พบมาจากการที่หินหลุดสันต์ถึง 65-75% การศึกษาแนวแตกเรียบในช่วงแรกๆ ผู้นั้นได้ใช้การเรียงตัวของแร่ในภาพและแร่ดิน เพราการเรียงตัวของเม็ดแร่เหล่านี้ส่งผลให้เกิดแนวแตกเรียบ Sorby (1856) เชื่อว่าการเรียงตัวใหม่ของแร่ในภาพและแร่ดินเป็นผลมาจากการตกผลึกใหม่และเรียงตัวเป็นแร่ใหม่และพร้อมกับการหมุนของแร่

ที่แข็งแกร่งบางส่วนในเนื้อหิน ขณะที่อีกบางส่วนในเนื้อหินมิดเมี้ยวไป อย่างไรก็ตาม Sorby ไม่สามารถอธิบายได้ว่าทำไม่ได้ในการจึงสะสมตัวอยู่เป็นกลุ่มเมื่อมีการหมุนของแร่แล้วแข็งแกร่งเท่านั้น นอกจากนี้กระบวนการหมุนเพียงอย่างเดียวไม่สามารถอธิบายการแบบรวมของชากระดึกคำารพ และผลึกแร่คือตัวซึ่งรูปเด่นๆ ได้

จากการวิเคราะห์แนวแตกเนื่อง มักพบว่าในบริเวณแนวแตกเรียบแร่มักเปลี่ยนแปลงขนาด และรูปร่างเสมอ จนทำให้เรียกว่าหอหือหรือห้องเป็นแผ่นๆ และมีแร่ใหม่เกิดขึ้น ตัวอย่างเช่น ผลึกแร่คือตัวและแคลเคลือต์ซึ่งเกิดใหม่ในบริเวณเงาความดัน(pressure shadow) ดังรูป 8.19 หรือเงาความดันของแร่ที่สมัยหนึ่งเป็นไข่นวด(beards)ของเงา

อย่างไรก็ตามการตอกผลึกใหม่ไม่สามารถอธิบายถึงแบบสับกัน 2 แบบในแนวแตกเรียบได้ รวมทั้งการเกิดผลึกคือตัวและเฟสเดส์สปาร์เด็กๆ ร่วมกับกลุ่มแร่ไม้ภายในแบบแนวแตกเรียบ แต่ก็ยังพบแร่คือตัวและเฟสเดส์สปาร์อยู่ในแบบศีลากลากคืบaway

จากการศึกษาพบว่าในบริเวณแนวแตกเรียบไม่พบว่าหินหรือแร่เกิดการถูกเฉือน ดังนั้นจึงสรุปว่าการเฉือนคงไม่เกี่ยวข้องกับการเกิดแนวแตกเรียบ แม้จะพบว่ามีลักษณะคล้ายการเดื่อง เกิดขึ้นก็ตาม Beutner(1978) ได้แสดงให้เห็นว่าการวางแผนตัวในแนวหนึ่งแนวใดของแร่ไม้ภายในแนวแตกเรียบอาจเกิดขึ้นได้โดยแร่ไม่ต้องหมุน เขาได้ศึกษาหินชานวนที่เรียก Martinburg Slate ทางตอนกลางของเทือกเขาแอบปาลเชียน โดยเขาเน้นไปที่แร่คลอไรด์ ซึ่งเป็นกลุ่มแร่ที่มาจากหินเดิม คือหินแอลไคลต์ จากการวิเคราะห์การจัดตัวของแร่คลอไรด์ ทำให้เขารู้ว่าการจัดตัวของแร่มาจากการละลายออกไปอย่างเลือกสรรอย่างเป็นระบบและต่อเนื่อง ตามกระบวนการที่แสดงในรูป 8.20 ด้วยเหตุนี้แร่คลอไรด์ที่จัดตัวไม่เป็นระเบียบในตอนแรกก็สามารถจัดตัวตามแนวได้โดยตั้งฉากกับทิศทางที่หดสั้นสุด

การที่หินหดสั้นหรือมีปริมาตรน้อยลงอาจเนื่องมาจากการละลายความดัน ทำให้เราหาปริมาตรหินเดิมได้เหมือนอย่างที่ Wright & Platt(1982) ได้วิเคราะห์รูปทรงและขนาดของไตรโลใบต์ที่พบในหินดินดานหมวดหิน Martinsburg อธิบายความเครียดของหินได้ โดยพบเข้าพบว่า แกรนโตไคลต์ที่วางแผนกับแนวแตกเรียบในชั้นหินผอมบางมากกว่าปกติ(รูป 8.28 ของ Davis) แต่แกรนโตไคลต์ที่วางแผนตั้งจากกับแนวแตกเรียบจะมีลักษณะสั้นกว่าปกติ และด้วยการตรวจสอบ แกรนโตไคลต์ในทุกมุมที่ทำกับทิศทางแนวแตก จึงพบว่าหินมาร์ตินสเปลเกิดหดสั้นไปได้มากถึง 50% หรือนั่นก็คือปริมาตรภายใน

Gray และ Durney (1979) ได้อธิบายถึงการเกิดแนวแตกเรียบทัดกัน(crenulation cleavage) ว่าเป็นผลมาจากการเปลี่ยนแปลงทั้งทางกายภาพ และทางเคมี โดยเฉพาะการจัดตัวของแร่ใหม่ เนื่องจากการละลายและการข้ามที่ทางเคมี พวกเขางี้อ้วนแบบแนวแตกเรียบ(cleavage domain) เป็นชุดที่เกิดการละลายออกไป โดยการละลายความดัน(pressure solution) หินเดิมอย่างมากจนเหลือเฉพาะกากหรือสารเหลือค้างซึ่งไม่ละลายออกไปได้ พวกเขางี้อ้วนว่าการละลายความดันเกิดขึ้น

เมื่อขอบที่ไม่ต่อเนื่องกันของเม็ดแร่หรือแคนบานะแตกจะวางตัวตั้งฉากกับทิศทางการเคลื่อนที่สมบูรณ์น้อยที่สุด(คือ S<sub>3</sub> ในวงรีความเครียด) ซึ่งการเคลื่อนที่ของสารละลายจะไปตามเส้นทางที่ถูกควบคุมโดยความต่างศักย์ทางเคมีที่สัมพันธ์กับขนาดและทิศทางของแรง ด้วยเหตุนี้แคนบานะแตกเรียบจึงมักพบบ่อยบริเวณชั้นหินโถงขนาดเล็ก(ดูรูป 8.21) และระยะห่างของแนวแตกเรียบจึงขึ้นกับขนาดของชั้นหินโถงเล็กๆ ที่ปรากฏและปริมาณการหลดล้างจากการละลายไปตามแนวของแนวโถงเล็กพอกันนั้น

การหลดล้างมักเกิดควบคู่กับแนวรอยแตก อันเนื่องมาจากการเปลี่ยนลักษณะแบบต่อเนื่อง (progressive deformation) ตามกาลเวลา(ดูรูป 8.25) โดยเริ่มจากลักษณะรอยโถงที่มีความยาวคลื่นสั้นๆ ต่อเนื่องกันเกิดการบีบตัว(buckled) จนชั้นหินหลดล้าง หรือจากแนวรอยแตกเรียบที่เกิดมา ก่อน(Marlow & Ethendge, 1977)

รูปแบบการโถงที่ปรากฏจึงแสดงให้เห็นถึงอิทธิพลของความหนาและลักษณะทางกายภาพ เช่น ความแตกต่างของการยืดหยุ่น การเกาะยึดเหนี่ยว กันหลากรูปแบบ ชั้น และความมากน้อย ของการหลดล้าง ถ้าการหลดล้างเนื่องมาจากความเครียดมากกว่าที่จะมาจากการโถงเพียงอย่างเดียว หินจะเริ่มหลดล้างโดยการละลายความดันเพื่อให้เกิดการสูญเสียสัด การละลายออกไปจึงเกิดขึ้น บริเวณแนวของแนวโถง จนทำให้แคนบานะแตกเรียบพัฒนาได้ชัดเจน ซึ่งเป็นผลจากการสูญเสีย ความตัวและเฟสสปาร์ไปเมื่อเทียบกับแคนบานะกุลภาค(QF-domain) ซึ่งมีปริมาณแร่ความตัวและ เฟสสปาร์ที่มากกว่า เมื่อแร่ละลายออกไปตามแนวแนวนะโถง ก็จะถูกนำไปในรูปสารละลายไป บริเวณที่เป็นบานพับของแนวโถง(fold hinge) ซึ่งแร่เกิดใหม่จะสะสมตัวในรูปการพอกพูน (overgrowth) และในรูปแผ่นบางๆ ส่วนแคนบานะแตกเรียบ(M-domain) ที่เกิดตอนช่วงแรกๆ มัก ทำมุนกับทิศทางการหลดล้าง แต่เมื่อมีแรงเค้นมากกระทำเรื่อยๆ หรือมีความเครียดเพิ่มขึ้นเรื่อยๆ ยังคงให้แคนบานะแตกเรียบจัดตัวในลักษณะของตัวเก็บขนาดใหญ่มากขึ้น และในที่สุดอาจตั้ง ฉากกับทิศที่หลดล้างมากที่สุด การละลายความดันจึงทำให้แนวรอยโถงปรับเปลี่ยนไป จนทำให้ มองดูคล้ายมีรอยเดือนตัดของแนวแตกเรียบต่อเนื่องภายในศักย์กุลภาคได้

ในการณีแนวแตกเรียบไม่ต่อเนื่อง ตัวบ่งบอกการละลายความดันที่ดีมากคือตัวหนึ่งคือผิวหน้า ของรอยฟันหยัก(stylolitic surface) ซึ่งแสดงถึงการละลายออกไป(dissolution) และการสูญเสีย ปริมาตร รอยฟันหยักนี้จึงเป็นส่วนที่เหลือค้าง(residue)จากการละลายความดัน (รูป...) ซึ่งส่วนที่ ไม่ละลายออกไปคือสารประกอบจำพวกคาร์บอนและดินตะกอน หยักที่เขียนลงในรอยฟันหยักนี้ มักบานานกับทิศทางแรงกระทำมากสุด( $\sigma_1$ )นั่นเอง โดยทั่วไปรอยฟันหยักนี้อาจมีทั้งที่บนและที่ ตัดขวางชั้นหิน(ดูรูป 8.30) นักธรณีวิทยาส่วนใหญ่ให้ความเห็นว่ารอยฟันหยักที่บนนักกับชั้นหินมี นูนหยักขึ้นลงตั้งฉากกับชั้นหินจัดได้ว่าเป็นรอยฟันหยักปฐมภูมิ(primary stylolite) ซึ่งเกิดขึ้น เนื่องจากน้ำหนักที่กดทับและการอัดแน่น น้ำหนักจากแรงดึงดูดจากชั้นตะกอนหลาຍชั้น ก่อให้เกิด รอยหยักขึ้นลงดังกล่าว ในทางตรงข้ามรอยหยักตัดขวางเป็นผลมาจากการแปรสัณฐาน

เป็นส่วนใหญ่ ซึ่งเสนอโดย Dean และคณะ(1988) โดยพอกเบาศึกษาจากชุดหินปูนกรีนไบร์เกอร์ (Greenbrier Limestone) ในยุคมิสลิสซิเบียน จากการวัดลักษณะการวางตัวของรอยฟันหยัก(ทิศการวางตัว และมุมเท) ทำให้พอกเบาพบว่าแนวการวางตัวบานและเกือบบานกับแบบแนวโถง และแนวการวางตัวของรอยเลื่อนข้ออ่อน Alvarez และคณะ(1976) พบว่ารอยหยักขี้นลง(teenth and cone) ของรอยฟันหยักมักดึงฉากกับแกนการโถงเสมอ ซึ่งแสดงให้เห็นว่าการละลายออก เกิดขึ้นในทิศทางแรงกระทำมากสุด( $\sigma_1$ )

แม้เราจะไม่พบรอยฟันหยัก บทบาทของการละลายความดันก็ยังปรากฏให้เห็นตามแนวแตกเรียบไม่ต่อเนื่องอยู่ ตัวอย่างที่เห็นได้ชัดคือ กรณีชากระดิกคำบรรพ์ถูกตัดออก(truncated) ไปตามแนวรอยแตกเรียบ อันเป็นผลจากการละลายความดัน และไม่ใช่การรอยเลื่อนหรือการแตกเปิดอ้า(extensional fracturing) เราไม่เคยพบชากระดิกคำบรรพ์ ส่วนที่ถูกละลายออกไปเลย ทั้งที่เป็นเพรามันถูกจะละลายออกไปในรูปสารละลายแล้วไปสะสมตัวอีกที่หนึ่งในรูปของสายแร่ ลักษณะของการละลายความดันที่ชัดเจนอีกอย่างหนึ่งคือ การตอบสนองความเครียดในหินที่ละลายหรือไม่มีการละลายเดย(insoluble layer) เช่น หินบริสุทธิ์ หรือดินมานาลเกิดการหลดสั้นโดยการเสียปริมาตรไป และเกิดการพัฒนาแนวรอยแตกเรียบไม่ต่อเนื่องขึ้น หินเชิร์ตที่ละลายยากกว่าตอบสนองการหลดสั้นโดยการเปลี่ยนลักษณะ(ตามแบบฉบับเดิม) ซึ่งก็คือเกิดการโถงและการเลื่อนข้อนั่นเอง ดังนั้นหินที่ละลายง่ายจึงตอบสนองต่อแรงเค้นตรงส่วนของชั้นหินเชิร์ต ซึ่งเปรียบเสมือนธารน้ำแข็ง ตอบสนองต่อแรงเครียดจากอุณหภูมิที่สูงขึ้น โดยการละลายน้ำแข็ง และก็จะทิ้งเศษเหลือค้างจาก การละลายไว้ในรูปกองตะกอน

อย่างไรก็ตามระยะเคลื่อน(offset) ของชั้นหินหรือชั้นหินบางในบริเวณที่เกิดแนวแตกเรียบ ซึ่งระยะเคลื่อนนี้เป็นผลมาจากการนำสาร(ในตัวมัน) ออกไปตามแนวรอยแตกเรียบ ขนาด(magnitude) และการรับรู้(sense) ของระยะเคลื่อนนี้ขึ้นกับปัจจัยหลายรูปแบบ เช่น การวางตัวของแนวรอยแตกเรียบที่ยึดกับการวางตัวของชั้นหินบ่งบอก(marker bed) หรือแนวแตกเรียบที่ยึดกับทิศทางการยึดตัวน้อยที่สุด( $S_3$ ) และความมากน้อยของการละลาย จากการศึกษาพบว่ามีเพียง 2 สภาพที่การละลายความดันไม่สามารถทำให้ชั้นหินแสดงระยะเคลื่อนได้ ซึ่งได้แก่ (1) ทิศทางแนวแตกเรียบที่ตั้งฉากกับชั้นหิน และ (2) ทิศทางแนวแตกเรียบที่ขนานชั้นหิน

Alvarez และคณะ (1978) ได้เสนอการจำแนกและแนวแตกเรียบ ซึ่งการจำแนกนี้เป็นวิธีพื้นฐานในการคำนวณหาการหลดสั้นภายในหิน โดยอาศัยธรรมชาติและระยะทางของรอยแตกเรียบ โดยที่วิธีนี้ทำขึ้นเพื่อเทียบเคียงสมบัติของแนวแตกเรียบกับการประเมินค่าการหลดสั้น เนื่องจากระยะเคลื่อน ชากระดิกคำบรรพ์ที่ถูกตัดออก ความมากน้อยในการโถงและการเลื่อนตัวของชั้นหิน ละลายออกหากเช่น เซิร์ต Alvarez และคณะ(1978) ได้จัดจำแนกแนวแตกเรียบไม่ต่อเนื่องออกเป็น 4 ขั้นตอน ได้แก่ (1) พอกที่อ่อนแอด (2) ปานกลาง (3) แข็งแกร่ง และ (4) แข็งแกร่งมาก ซึ่งท่ากับ

ค่าการหดสั้น 0-4, 4-25, 25-35, และ > 35% ตามลำดับ รูป 8.36 (Davis) แสดงลักษณะของรอยแตกเรียบไม่ต่อเนื่องในชั้นปานกลาง และชั้นแข็งแกร่งทั้งที่เป็นภาพตัดขวางและบนระนาบชั้นหินแนวแตกเรียบที่แข็งแกร่งที่สุดจึงเป็นพวกริมอยู่ชิดกันมากที่สุด ส่วนพวกริมอยู่จะเป็นพวกริมที่แสดงรอยฟันหยักมากที่สุด แนวแตกเรียบที่แข็งแกร่งมากๆ จึงสังเกตได้โดยแนวแตกเป็นรูปถูกตัวและมีสายแร่เคลือบตื้ออยู่ด้วย อาจกล่าวได้ว่าสายแร่แสดงถึงการย้ายที่เนื่องจากแรงดันจาก (ส่วนประกอบของ) หิน ซึ่งในที่นี้คือเคลือบตื้อ

### 8.1.3 การสร้างสภาพข้อนอเดิต(Palinspastic reconstruction)

การสร้างสภาพข้อนกลับเพื่อตรวจหาคำตับการเกิด(palinspastic reconstruction)ของชั้นหินคงโครงที่มีแนวแตกเรียบไม่ต่อเนื่องไม่เพียงแต่ทำให้ชั้นหินคืนกับสู่สภาพเดิมก่อนการกดโถงเท่านั้น แต่ยังให้ข้อมูลถึงการสูญเสียปริมาตรที่เกิดขึ้นเนื่องจากการละลายความดันในระหว่างที่เกิดการโถงด้วย ดังนั้นจะต้องยืดชั้นหินออกอีกเพื่อทดสอบการสูญเสียปริมาตรจากการเกิด pressure solution ก่อนที่จะทำให้เกิดการกดโถงอีกครั้งหนึ่ง จึงเหมือนกับการสร้างสภาพข้อนอเดิต(palinspastic reconstruction) ทำให้สวนทางกับการเกิดแนวแตกเรียบ เพราะแนวแตกเรียบเกิดจากหรือระหว่างกระบวนการกดโถง แต่ไม่ใช่ก่อนการกดโถง อย่างไรก็ตามการอนุโลมให้มีการบวกค่าการยืดเนื่องจากแนวแตกเรียบน่าจะเหมาะสมกว่าการที่เราไม่ได้นำมาคิดเลย การสูญเสียปริมาตร 40-50% จึงเป็นภาวะกรณ์เกิดแนวแตกเรียบอีกแบบ ซึ่งถือว่ามาก ดังนั้นการที่วิเคราะห์กลับไปหาสภาพก่อนการเปลี่ยนลักษณะของหินเดิมจึงควรพิจารณาผลของการละลายความดันของมวลหินด้วย

รูป 8.1 แนวแตกเรียบตามแกนโถงที่เกิดพร้อมกับชั้นหินโถง ให้สังเกตแนวแตกเรียบขนาดไปกับแกนชั้นหินโถง(axial plane cleavage) ซึ่งพบในบริเวณท่าโคโนนิก(Taconics) ทางตะวันตกของรัฐเวอร์蒙ต์(Vermont) สหรัฐอเมริกา(จากเพียงตา สารัตภัย, 2546)

รูป 8.2 แนวแตกเรียบทักเหว(cleavage refraction) ที่เกิดเนื่องจากหินอ่อน(soft beds) แทรกกับหินแข็ง(hard) เช่น ในรูปเป็นหินทรายและหินดินดานแทรกสลับกัน โดยราบบนแนวแตกเรียบห่างๆ (spaced cleavage) ในหินทราย และแนวแตกเรียบที่ๆ (slaty cleavage) ในหินดินดาน ในบริเวณเมืองมิดเดลทาวน์ในรัฐนิวยอร์กตอนใต้ สหรัฐอเมริกา (จากเพียงตา สารัตภัย, 2003)

รูป 8.3 โครงสร้างทั่วไปที่มักพบในแนวแตกเรียบ (ก) โครงสร้างแบบทะลุทะลวง(penetrative structure) (ข) โครงสร้างแบบไม่ทะลุทะลวง(nonpenetrative structure)

รูป 8.4 แนวแตกเรียบที่ขนานไปกับระนาบการโค้ง(axial plane cleavage) และเปลี่ยนทิศแนวต่างจากชั้นหินรายไปยังหินดินดาน ให้สังเกตแนวแตกเรียบทามมุ่งตั้งฉากกับชั้นหินราย และแสดงแนวแตกครุพัด(fan cleavage) แต่มีอ่าผ่านเข้าไปในหินดินดานกลับเปลี่ยนมุ่งการวางตัวของแนวแตกโดยทำมุ่งแหลมคด้ายกภูมิการหักเหของคลื่นและเรียกว่า แนวแตกเรียบทากเห(cleavage refraction)

รูป 8.5 แนวแตกเรียบปรากฏเป็นแนวโค้งในชั้นหินตะกอนที่มีการคัดขนาดเม็ด(fining upward) ให้สังเกตมุ่งแนวแตกเรียบจะสูงเมื่อตะกอนมีเม็ดขนาดใหญ่(coarse grain) และมุ่งลดลงเมื่อเม็ดตะกอนมีขนาดเล็กลง(fine grain)

รูป 8.6 (ก) ภาพตัดขวางแสดงแนวแตกเรียบที่ปรากฏในชั้นหินโค้งพลิกกลับ(overted fold) แนวที่พลิกกลับมีมุ่งเทมากกว่ามุ่งเทของแนวแตกเรียบ (ข) แผนที่แสดงความสัมพันธ์ระหว่างแนวแตกเรียบกับการวางตัวชั้นหิน

รูป 8.7 (ก) แนวแตกเรียบที่ปรากฏในชั้นหิน (ข) การแปลความหมายชั้นหินโค้งที่สอดคล้องกับแนวแตกเรียบ แสดงถึงการสร้างภาพของชั้นหินที่ขาดหายไป อันเป็นผลจากการโค้งพลิกกลับ (overturned folding)

รูป 8.8 ลักษณะแนวแตกเรียบในเขตรอยเฉือน ซึ่งเราสามารถสร้างวงรีความเครียดที่มี  $S_1$  ไปตามความยาวของแนวแตกเรียบ

รูป 8.9 หินที่เกิดแนวแตกเรียบจากการเฉือน ในบริเวณเขตรอยเฉือนซึ่งเมื่อทุบให้แตกจะเห็นการแตกไปตามแนวแตกเรียบที่ปรากฏทั้งเนื้อหิน(penetrative) ภาพถ่ายในบริเวณเขตรอยเฉือนบริเวณที่ออกเขตวันตก บ้านสูบ อำเภอเมือง จังหวัดเลย

รูป 8.10 สถาบันแนวแตกเรียบ(cleavage domains) และสถาบันศิลาจุลภาค(microlithon domains) การเรียงตัวของไมกาเป็นอาณาจักรของแนวแตกเรียบ แยกออกจากคลอตซ์และเฟสเดส์ปาร์ เป็นภาพจากแผ่นหินบางของหินชีสต์(Davis and Reynolds, 1996)

รูป 8.11 การจำแนกชนิดแนวแตกเรียบโดย Powell (1979)

รูป 8.12 การจำแนกชนิดแนวแตกเรียบและริ้วหนานโดย Twiss และ Moores (1992)

รูป 8.13 แนวแตกเรียบในบริเวณเขตรอยเฉือนของหินโคลน มีลักษณะเป็นแผ่น บริเวณท้องน้ำแม่น้ำโขง บ้านหาดคัมภีร์ อำเภอปากชุม จังหวัดเลย (สุดาพร เพชรคง นักศึกษาชั้นปีวิทยาสั�นิษฐานว่าซึ่อของ “หาดคัมภีร์” น่าจะมาจากลักษณะของหินที่แตกเป็นแผ่นดังรูป มีลักษณะคล้ายแผ่นคัมภีร์โน้นราชน) (แหล่งที่มา: ภาพโดย ยุทธศักดิ์ สอนสุภาพ นักศึกษาชั้นปีวิทยาภาควิชาเทคโนโลยีชีรภี)

รูป 8.14 ภาพสเกตแสดงลักษณะแนวแตกเรียบที่พบของแนวแตกเรียบผิดระยะ(disjunctive cleavage) ซึ่งประกอบด้วยแบบแนวแตกเรียบ (C) และแบบศิลาจุลภาค (M) (ปรับปรุงจาก Twiss and Moores, 1992)

รูป 8.15 แนวแตกเรียบที่ระยะ(disjunctive cleavage) แบบประสานสาย(anastomosing) พบริเวณหินครึ่น่อนตอยออร์โควิชีนตอนกลาง บริเวณ Valley and Ridge รัฐ Virginia สหรัฐอเมริกา (แหล่งที่มา: ภาพโดย Samuel Root, The college of Wooster)

รูป 8.16 ภาพจากแผ่นหินบางแสดงแนวแตกเรียบที่แสดงการเรียงตัวของแร่ในดำเนินแบบแนวแตกเรียบและแร่ควอตซ์ในแบบศิลาจุลภาค ซึ่งจัดเป็นแนวแตกเรียบที่ระยะของหินในเขตรอยเฉือนบริเวณบ้านปากมั่ง อำเภอปากชุม จังหวัดเลย (แหล่งที่มา: ภาพโดย ยุทธศักดิ์ สอนสุภาพ นักศึกษาชั้นปีวิทยา ภาควิชาเทคโนโลยีชีรภี)

รูป 8.17 แนวแตกเรียบตัดกัน มี 2 ชนิด ได้แก่ (ก) แบบตัดกันชัดเจน(discrete crenulation cleavage) ซึ่งพบว่ารีวนาน(foliation) ตัดขาด(truncation) ด้วยแนวแตกเรียบชัดเจน และ(ข) แบบไม่ชัดเจน(zonal crenulation cleavage) ซึ่งแนวแตกเป็นผลจากการโค้งเล็ก(microfolding)

รูป 8.18 (ก) แนวแตกเรียบตัดกันที่ระยะชัดเจน(discrete crenulation cleavage) ในหินถ้ากูญาไฟที่ถูกแปร พบริเวณ Granite Wash Mountains, Western Arizona สหรัฐอเมริกา แนวสีขาวคือสายแร่แคลไซต์ ที่เกิดก่อนที่จะมีการเปลี่ยนลักษณะอีกครั้ง (ข) แนวแตกเรียบตัดกันที่ระยะไม่ชัด(zonal crenulation cleavage) ในหินแปรที่เกิดจากหินตะกอน พบริเวณเดียวกันกับภาพช้ายมือ (Davis and Reynolds, 1996)

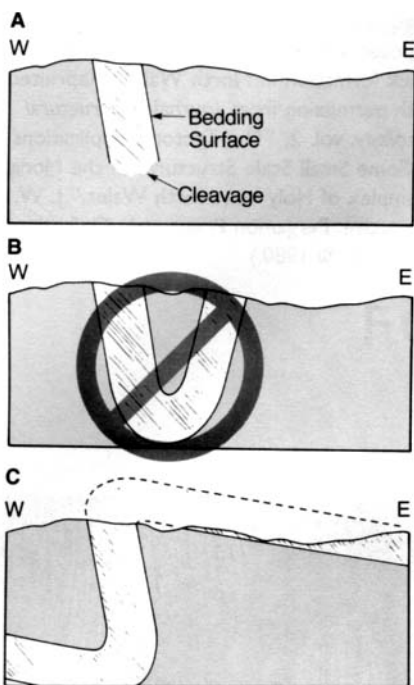
รูป 8.19 ภาพสเกตซ์มือของลักษณะเงาความดัน(pressure shadow) รอบผลึกแร่ไฟฟ้า กรอบสีเหลืองแสดงบริเวณที่ปรากฏในภาพรวมมือของบริเวณ pressure shadow ที่มีการเกิด fibrous ของ

แร่ควอตซ์และแคลไนต์ รอบรูป กึ่งครึ่งวงกลมสีดำเนของแร่ไฟไซต์ ซึ่งแร่ควอตซ์และแคลไนต์จะมีการตกผลึกใหม่ติดกับขอบเขตของแร่ที่แข็งแกร่งต่อการเปลี่ยนลักษณะ (แหล่งที่มา: ภาพโดย Arthur Goldstein, Colgate University)

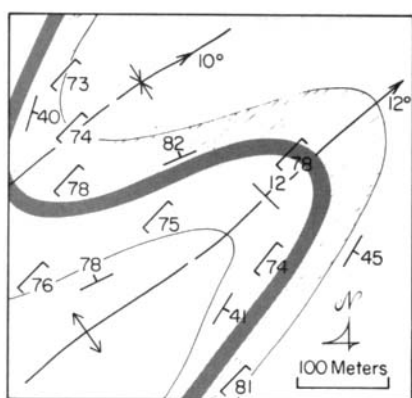
รูป 8.20 การเรียงตัวใหม่ของแร่จากการกระบวนการละลายความดันจนทำให้เกิดการเปลี่ยนลักษณะแบบหดสั้น ด้วยเหตุนี้ผลึกสีเหลืองที่กระจายตัวอยู่ เมื่อถูกแรงกระทำจนทำให้เกิดการละลายความดัน ดังนั้นส่วนที่อยู่นอกเส้นปะจึงละลายออกไป ทำให้เหลือส่วนของเม็ดแร่บางส่วน (สีเทา) ภายในเส้นปะ จึงทำให้ดูเหมือนมีการจัดเรียงตัวใหม่ของแร่ (ดัดแปลงจาก Beutner, 1978)

รูป 8.21 ปริมาณการหดสั้น เมื่อเทียบกับคำศัพท์การเกิดแนวแตกเรียบตัดกัน(crenulation cleavage) (Gray, 1979)

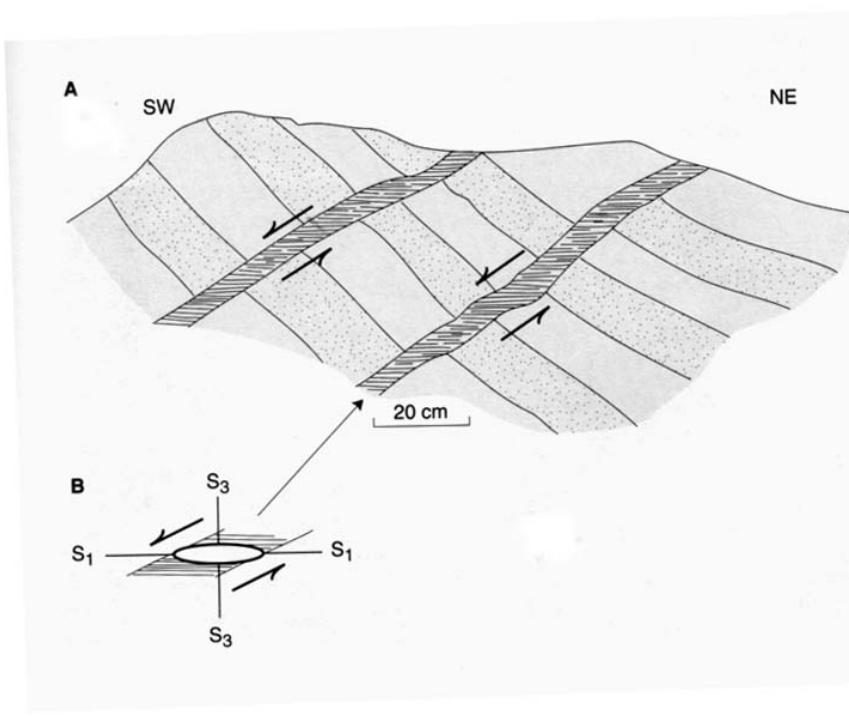
รูป 8.22 ภาพของ stylolite ดูจากผ่านหินบางสูญญากาศแสดงทิศทางของ  $\sigma_1$  ขนานไปกับพื้นของ stylolite สีดำเนเป็นเศษดินและเศษคาร์บอนที่ไม่สามารถละลายออกไปได้ (แหล่งที่มา: ภาพโดย Mark Jessell and Paul Bons, Monash University)



**Figure 8.5** Use of the orientations of bedding and cleavage to construct the form of the fold with which the bedding and cleavage are associated. (A) The outcrop relationships. (B) Misfit between the cleavage orientation and the interpreted fold form. (C) A good fit!



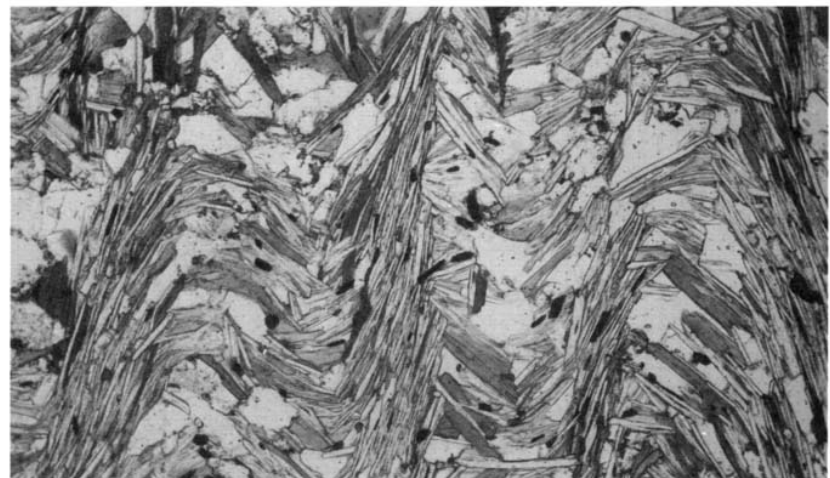
**Figure 8.7** Geologic map expression of the relationship(s) between cleavage and folded bedding.



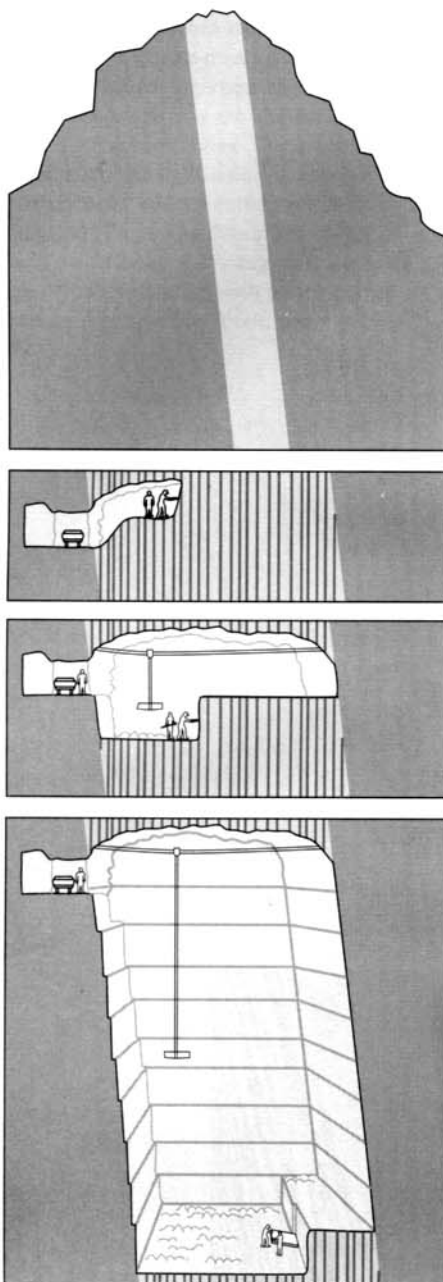
**Figure 8.8** (A) Sketch based on outcrop relations in the San Manuel Formation (Miocene) near Tucson, Arizona. Sandstone and siltstone of the San Manuel Formation is cut by normal faults. The faults contain clayey gouge, and some of the gouge zones display a delicate penetrative cleavage. (B) The orientation of the cleavage in the gouge discloses the sense of movement, aligning itself with the direction of maximum finite stretch ( $S_1$ ) and perpendicular to the direction of minimum finite stretch ( $S_3$ ).

**Figure 8.9** Excellent example of domainal structure in a quartz-mica schist exposed near Loch Leven, Inverness-shire Scotland. The cleavage domains are the dark, fine-grained micaceous zones. The microlithon domains are the light-colored, coarser grained zones of crenulated laminae of quartz and mica. (From *The Minor Structures of Deformed Rocks: A Photographic Atlas* by L. E. Weiss. Published with permission of Springer-Verlag, New York, copyright © 1972.)



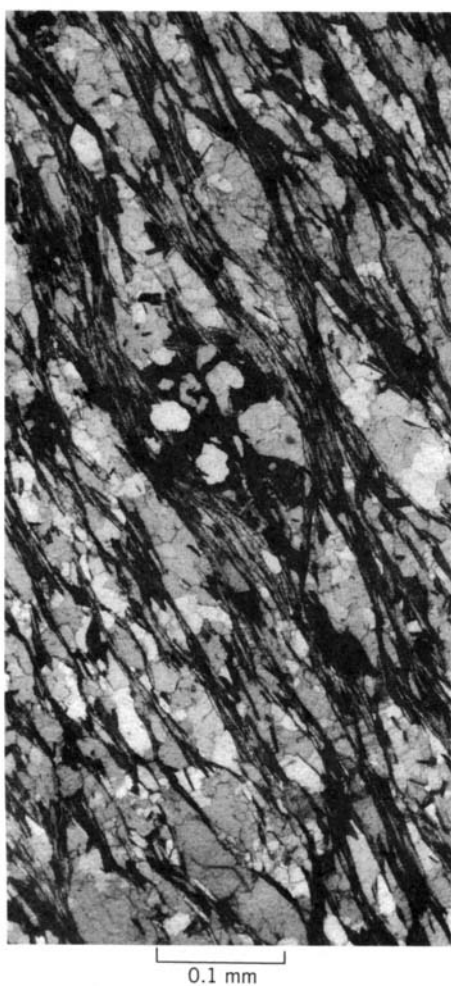
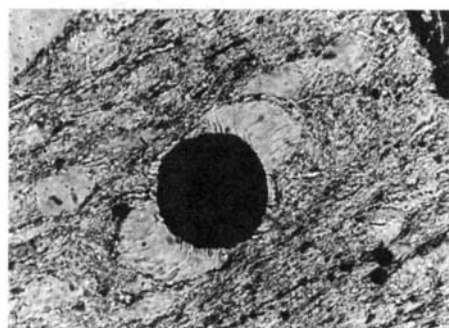


**Figure 8.10** Photomicrograph showing domainal structure in mica schist. Oriented micas comprise cleavage domains. The cleavage domains separate microlithon domains of quartz, feldspar, and mica. (Photograph by D. M. Sheridan. Courtesy of United States Geological Survey.)

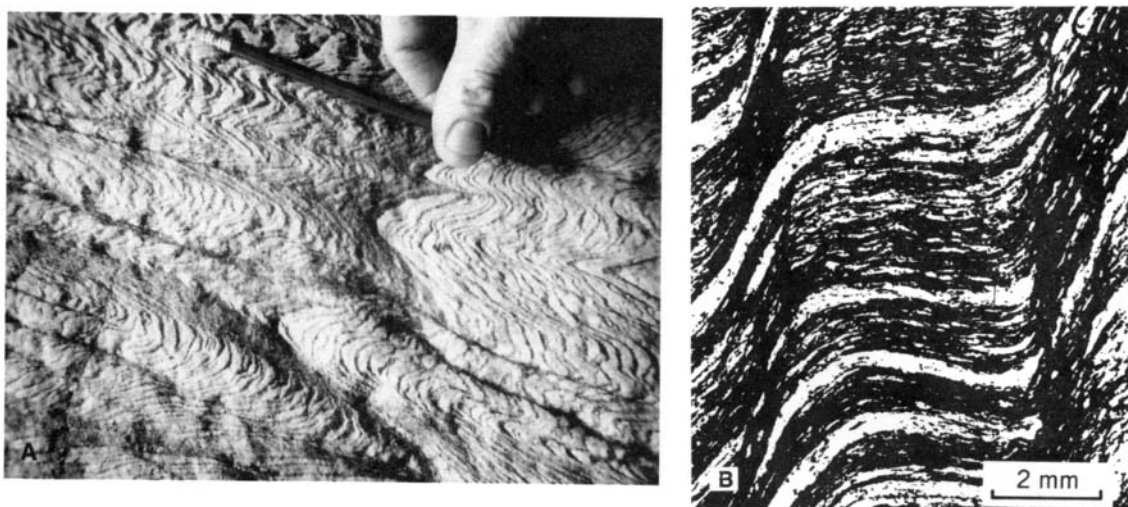


**Figure 8.12** “Diagramau yn dangos y whthien o'r lechen a'r dull o'i chloeddio.” (“Diagrams showing the vein of slate and how it is extracted.”) This illustration, based on a display I photographed in the Visitor's Center in Machynlleth, Wales, shows beautifully the difference between bedding and cleavage. The slate occurs in what the miners call “veins.” Veins are the beds themselves. Cleavage is discordant to the bedding. Thus when the miners split out the slate, they do so along a direction that is oblique to bedding.

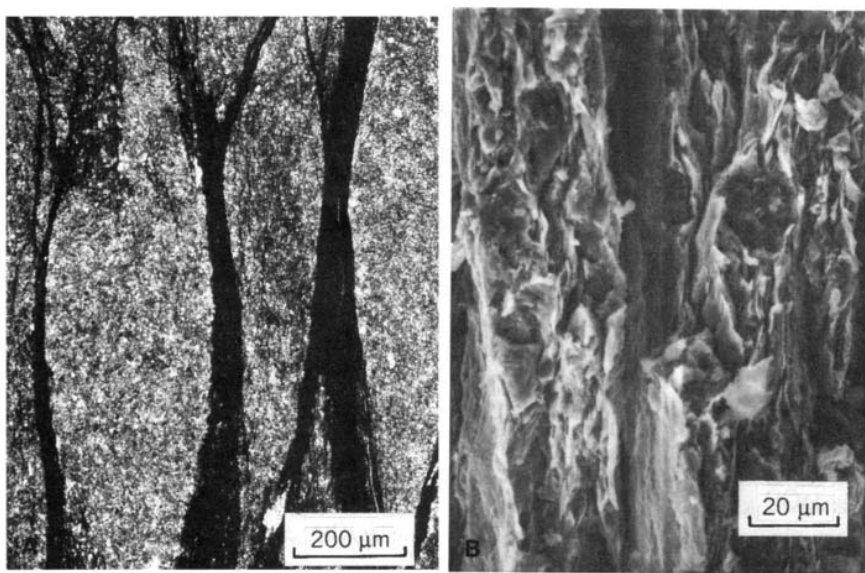
**Figure 8.19** Photomicrograph of overgrowths of chlorite and quartz on pyrite (black). The “beards” are oriented subparallel to slaty cleavage. They grew under the protection of the strong pyrite grain that refused to flatten parallel to cleavage. Trace of slaty cleavage is from lower left to upper right. Martinsburg Slate, Delaware Water Gap, New Jersey. (Photograph by E. C. Beutner.)



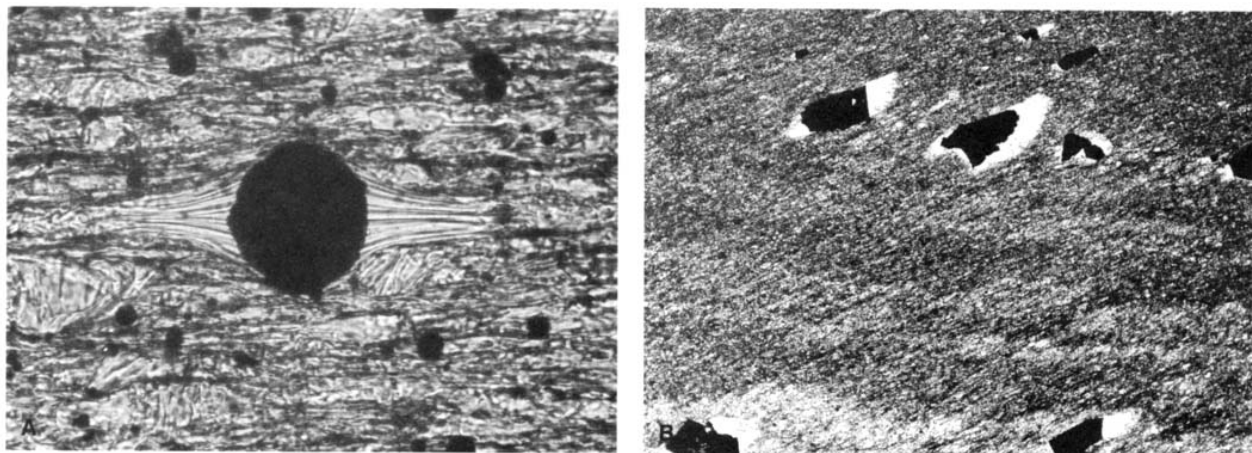
**Figure 8.20** Domainal microfabric in schist from Ducktown, Tennessee. Micas form films that envelope aggregates composed principally of quartz. (Photograph by W. C. Laurijssen. From *An Outline of Structural Geology* by B. E. Hobbs, W. D. Means, and P. F. Williams. Published with permission of John Wiley & Sons, Inc., New York, copyright © 1976.)



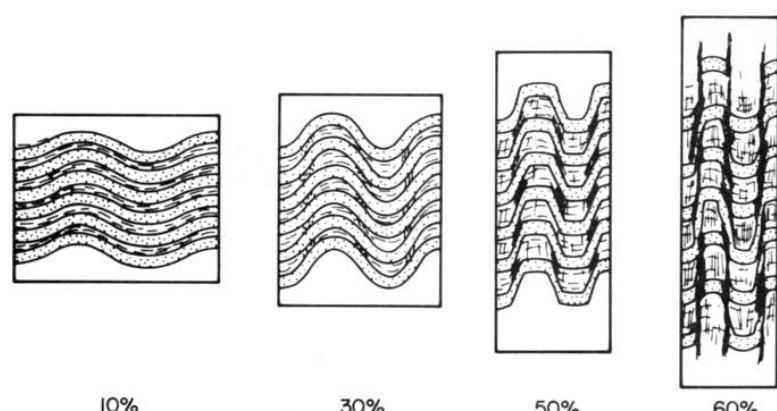
**Figure 8.21** (A) Example of discrete crenulation cleavage. Folded schistosity is abruptly truncated along crenulation cleavage. Vishnu Schist in the Grand Canyon. (Photograph by S. J. Reynolds). (B) Photomicrograph of zonal crenulation cleavage (vertical) coincident with the steep limbs of asymmetric folds in schistosity. The zonal cleavage domains are carbonaceous and micaceous. They have a distinctively lower proportion of quartz than that of the initial fabric. [From Gray (1979), *American Journal of Science*, v. 279.]



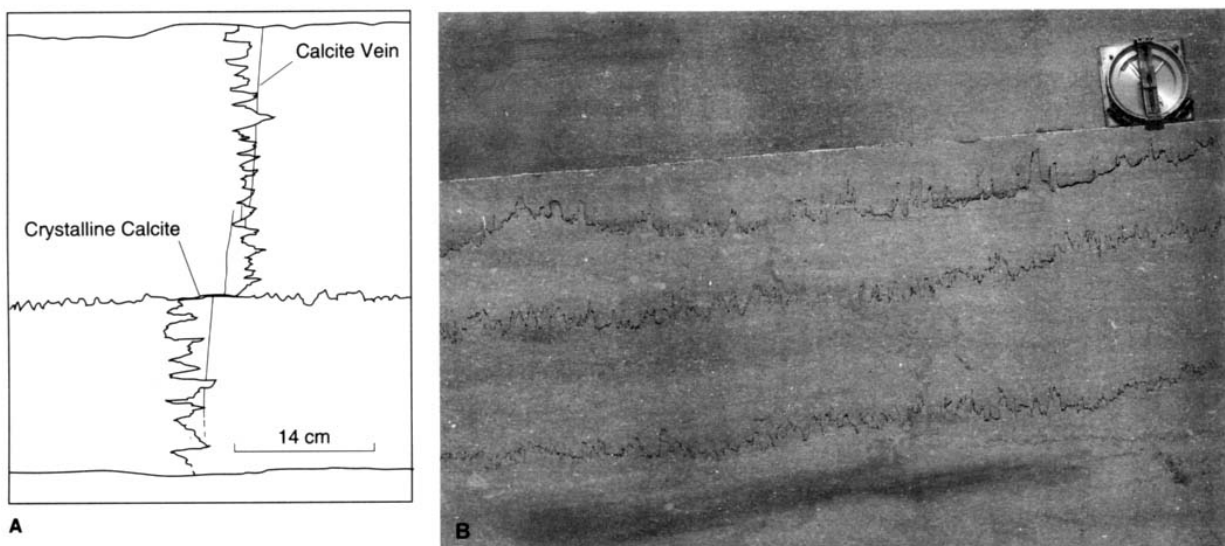
**Figure 8.22** (A) Photomicrograph of anastomosing, dark, undulating spaced cleavage seams. (B) Scanning electron micrograph of the spaced cleavage seams. Composed of densely packed clays, these seams are markedly straight in their trace expression (vertical). Clays in intervening microlithons are more loosely packed, not preferentially oriented. [From Gray (1981), *Tectonophysics*, v. 78. Published with permission of Elsevier Scientific Publishing Company, Amsterdam.]



**Figure 8.25** (A) Photomicrograph of pressure shadows containing fibrous quartz and chlorite. The pressure shadows are “attached” to a spherical pyrite aggregate. Diameter of pyrite is 36  $\mu\text{m}$ . From fold in Martinsburg Slate, Delaware Water Gap, New Jersey. (Photograph by E. C. Beutner.) (B) Photomicrograph of feathery pressure shadows (crystal fiber beards) of quartz at the ends of pyrite crystals and calcareous slate. Note the faint horizontal trace of bedding in the matrix of this rock. The pyrite occurs mostly along the bedding, but the pressure shadows have formed parallel to cleavage. (Photograph by L. Pavlides. Courtesy of United States Geological Survey.)



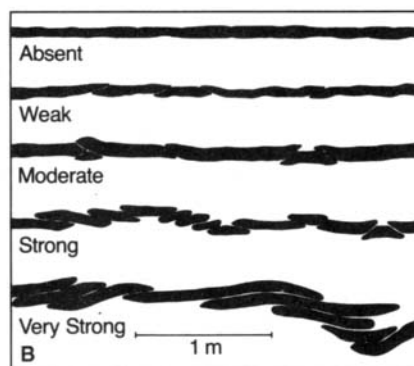
**Figure 8.29** Accommodation of shortening through the development of crenulation cleavage. [From Gray (1979), *American Journal of Science*, v. 279.]

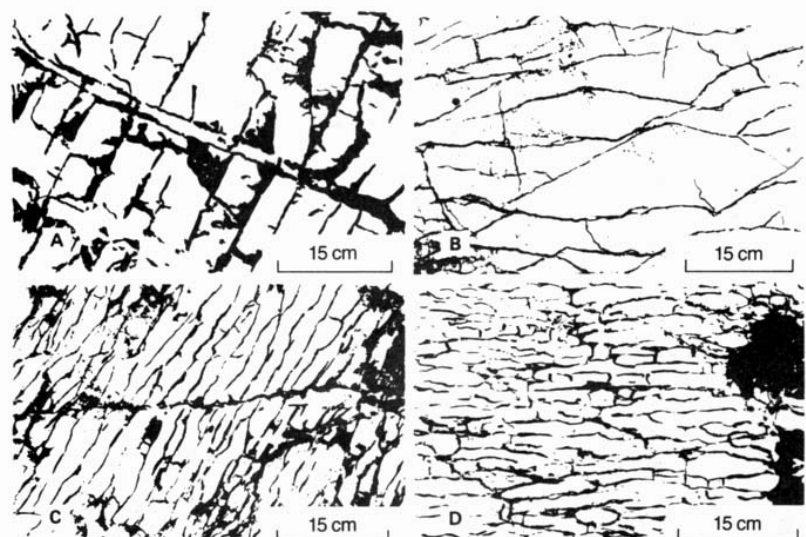


**Figure 8.30** (A) Detailed sketch of bedding stylolite (horizontal) and transverse stylolite (vertical) in the Permian Pinery Limestone, McKittrick Canyon, in the Guadalupe Mountains, Texas. [Redrawn from Rigby (1953), Figure 6, p. 269.] (B) Stylolites in a large slab of Tennessee marble. The digitations are variously known as "teeth," "cones," or "columns." The black linings of the stylolites are composed of carbonaceous and/or clayey residue. (Photograph by T. N. Dale. Courtesy of United States Geological Survey.)



**Figure 8.33** (A) Spaced cleavage in a strongly cleaved impure limestone. Arrows point out thrust-fault imbrication of insoluble black chert layer that was incapable of shortening by pressure solution. [From Alvarez, Engelder, and Lowrie (1976). Published with permission of Geological Society of America and the authors.] (B) Degree of fault imbrication of insoluble chert layers (black) corresponds to the intensity of development of cleavage. [From Alvarez, Engelder, and Geiser (1978). Published with permission of Geological Society of America and the authors.]



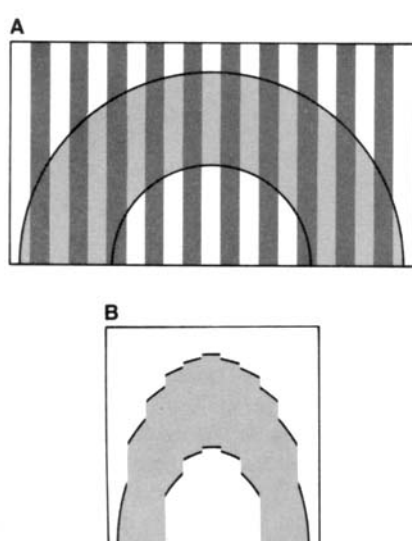
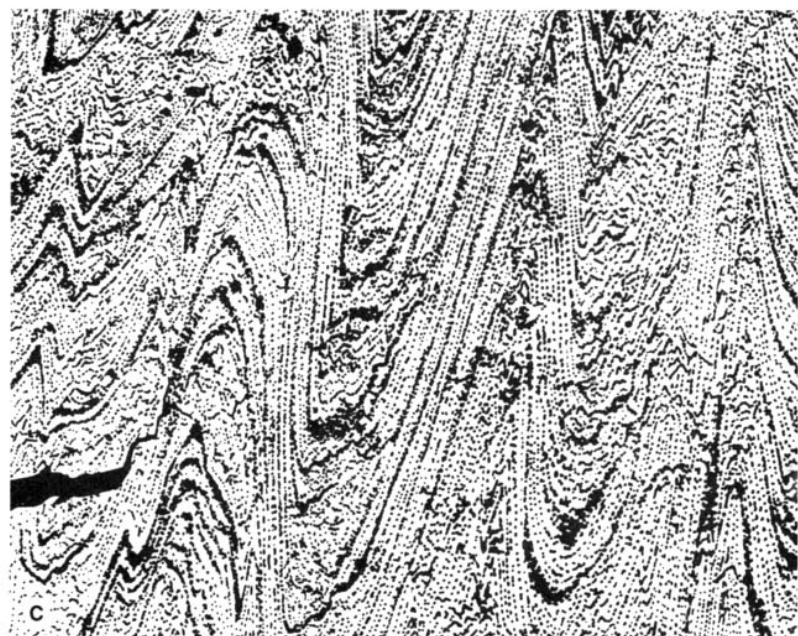


**Figure 8.36** Geometry and spacing of moderate and strongly developed spaced cleavage. (A) Cross-sectional view of "moderate" cleavage; (B) expression of cleavage on the bedding surface. (C) Cross-sectional view of "strong" cleavage; (D) expression of cleavage on the bedding surface. [From Alvarez, Engelder, and Geiser (1978). Published with permission of Geological Society of America and the authors.]

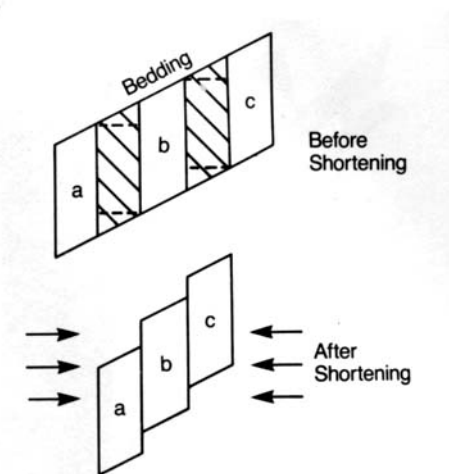


**Figure 8.38** (A) Passive fold in metasedimentary rocks in the Salt River Canyon region, Arizona. Height of fold is approximately 1.5 m. (Photograph by F. W. Cropp.) [From Davis and others (1981), fig. 32, p. 83. Published with permission of Arizona Geological Society.] (B) Passive fold in polished slab of pyritic ore from the Caribou strata-bound sulfide deposit in the Bathurst mining district of New Brunswick, Canada. Cleaved black layers represent original bedding. Cleavage is axial planar to the folded layering. (Photograph by G. Kew.) (C) Recumbent passive folds in marble derived from Pennsylvanian-Permian limestone in Happy Valley, southeastern Arizona. (Photograph by G. H. Davis.)

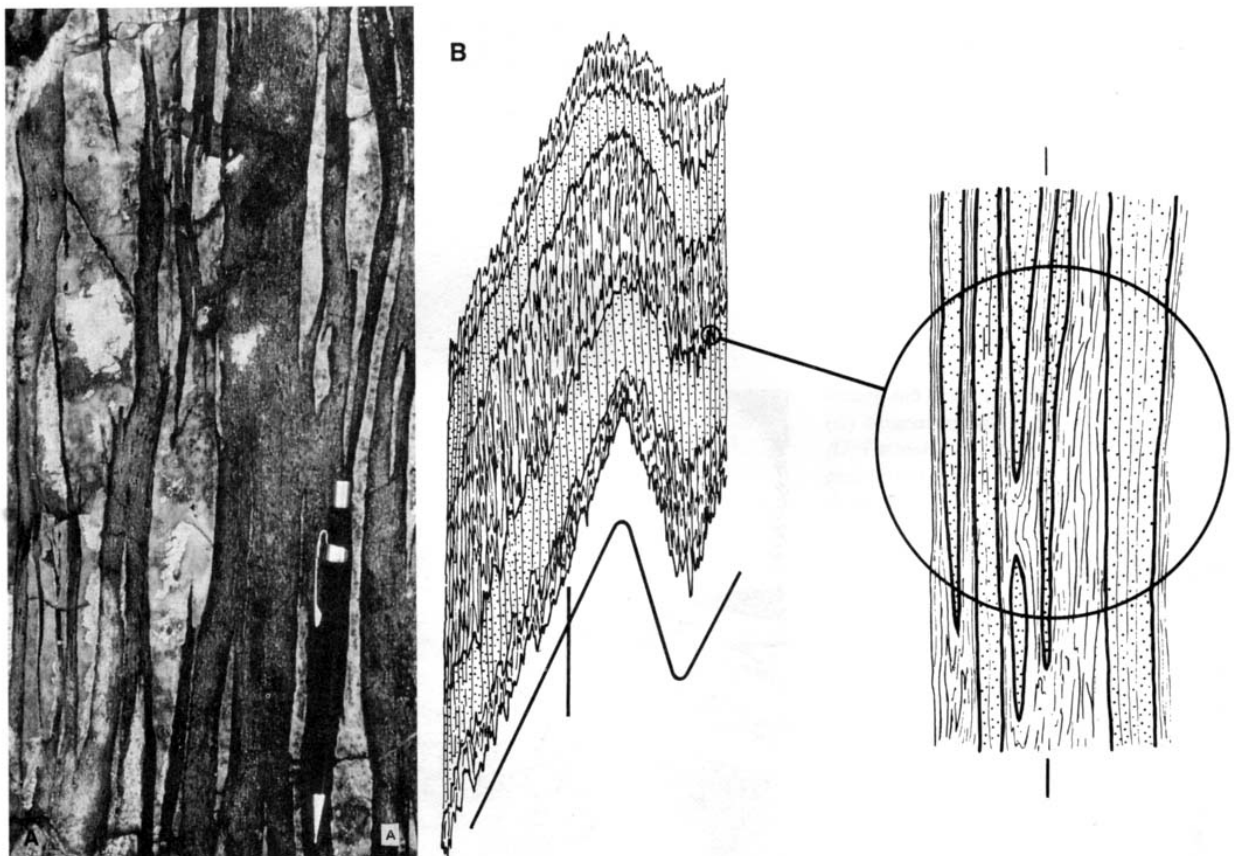
**Figure 8.39 (continued) (C)** Outcrop-scale passive-flow folds in hornblende-plagioclase gneiss, Medicine Bow Mountains. [From Donath and Parker (1964). Published with permission of Geological Society of America and the authors.]



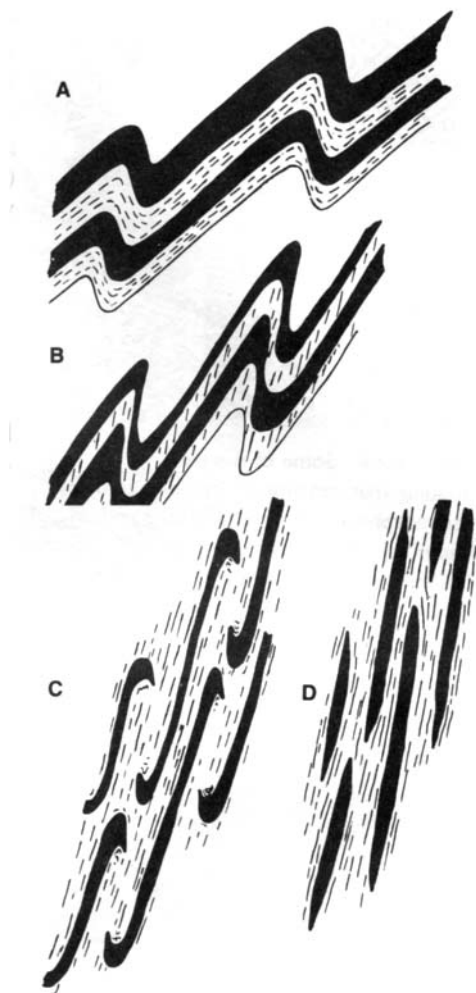
**Figure 8.40** Schematic rendering of the transformation of (A) a class 1B fold to (B) a class 1C fold by pressure solution. Such a transformation can be simulated easily with a deck of cards, not by displacing the cards in simple shear fashion, but by removing domains of material at spaced intervals within the deck.



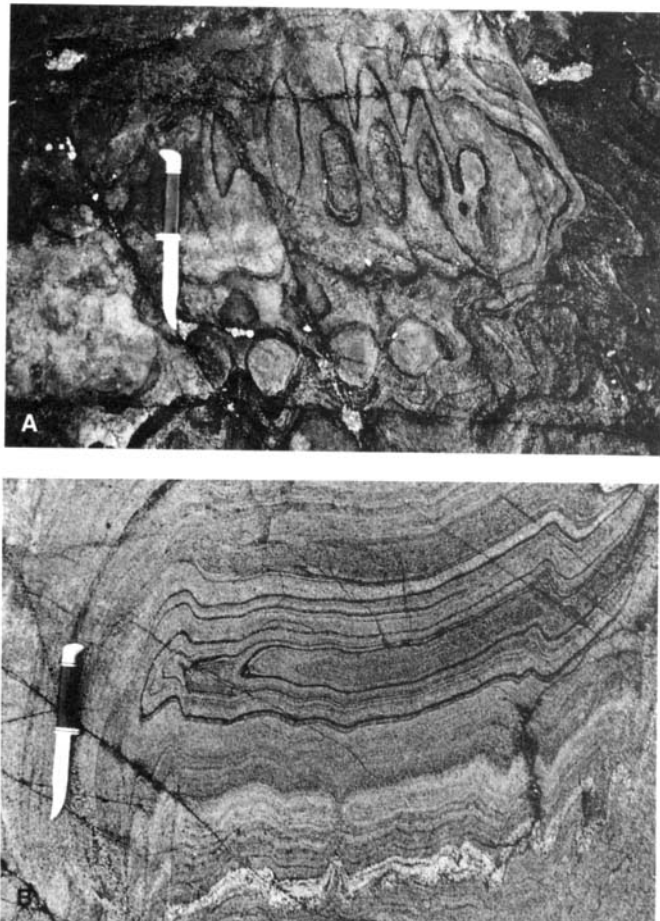
**Figure 8.41** The steepening of the inclination of overall bedding attitude by pressure-solution loss of material. [From Alvarez, Engelder, and Lowrie (1976). Published with permission of Geological Society of America and the authors.]



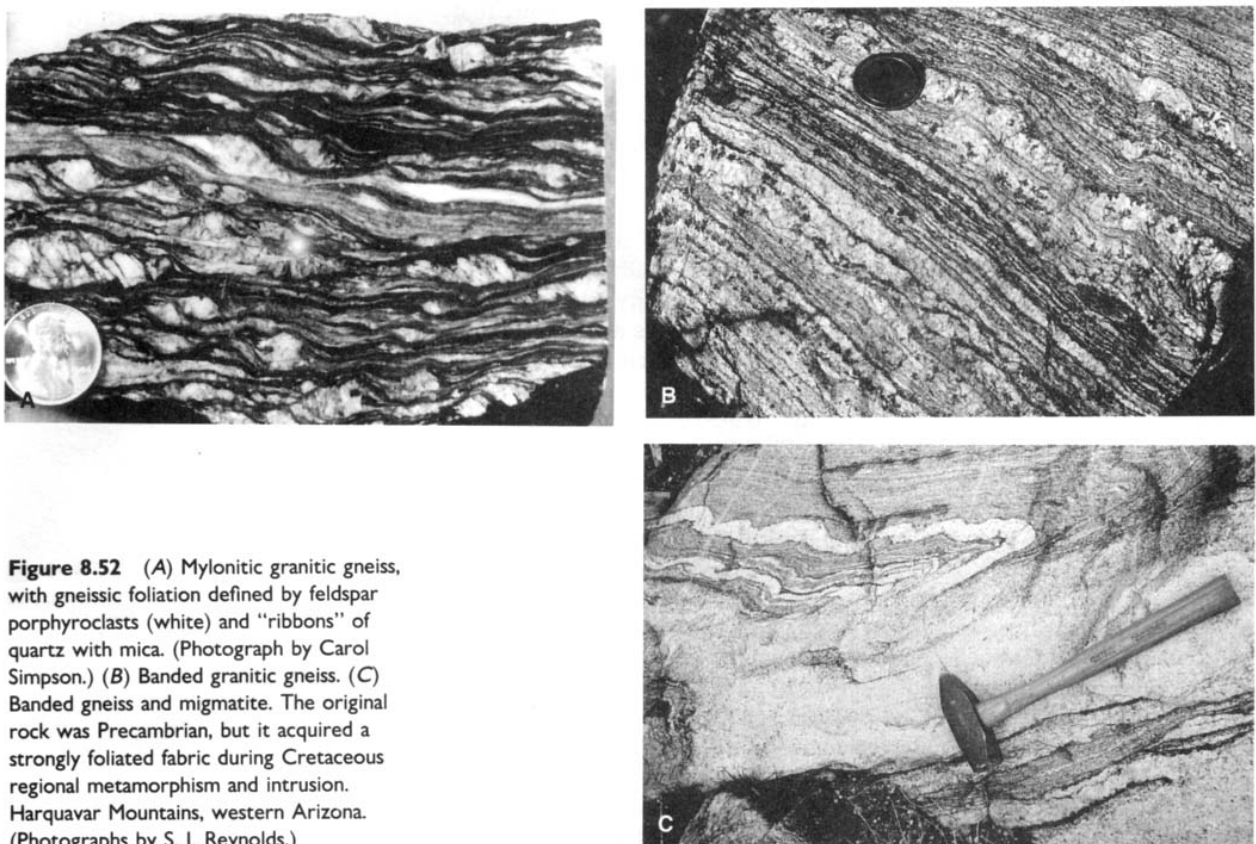
**Figure 8.42** (A) Pseudostratigraphy in metasedimentary rocks in the Happy Valley region of the Rincon Mountains, near Tucson, Arizona. (Photograph by S. H. Lingrey.) (B) Pseudostratigraphy within folded rock. (From *Structural Analysis of Metamorphic Tectonites* by F. J. Turner and L. E. Weiss. Published with permission of McGraw-Hill Book Company, New York, copyright © 1963.)



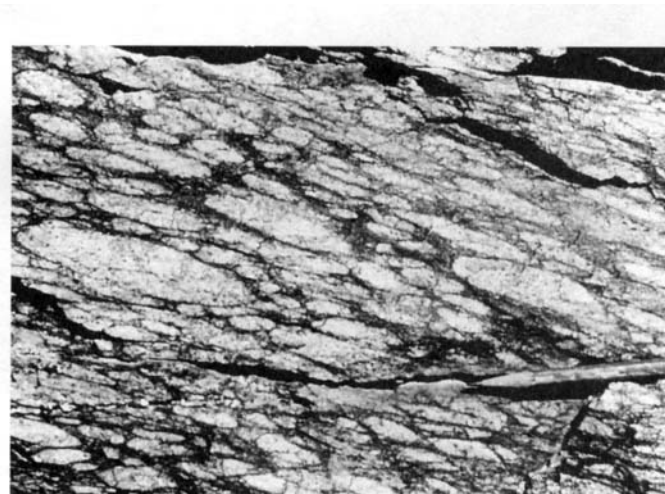
**Figure 8.44** Transposition of bedding. (A) Flexural folding of bedded sequence of stiff (black) and soft (white) layers. (B) Tight folding and onset of cleavage development. (C) Attenuation and rupture of fold limbs. (D) Flattening of sequence and creation of pseudostratigraphy. (Modified from *Structural Analysis of Metamorphic Tectonites* by F. J. Turner and L. E. Weiss. Published with permission of McGraw-Hill Book Company, New York, copyright © 1963.)



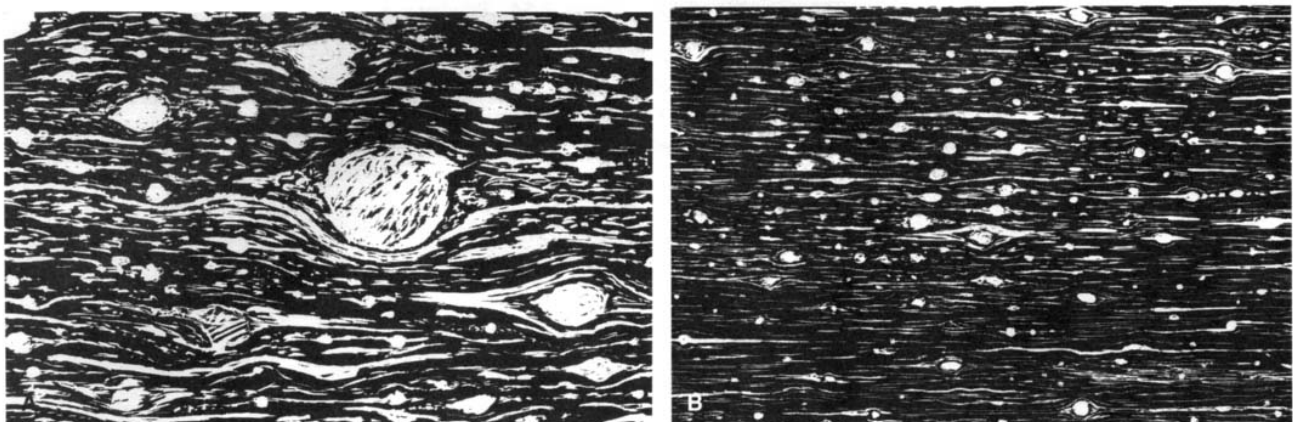
**Figure 8.45** The classic work in analyzing refolded folds was carried out by John Ramsay (1958) in the Loch Monar region in the Northern Highlands of Scotland. Here are two examples of outcrop displays at Loch Monar: (A) Dome and basin pattern produced by interference of two sets of horizontal, upright, tight to isoclinal folds trending at right angles to one another. The folds interfere constructively and destructively, just like wavetrains in physics. (B) Upright folding of recumbent isoclinal folds. (Photographs by G. H. Davis.)



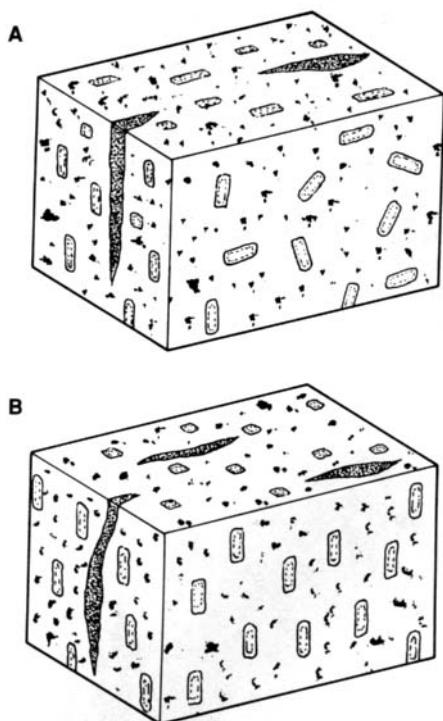
**Figure 8.52** (A) Mylonitic granitic gneiss, with gneissic foliation defined by feldspar porphyroclasts (white) and “ribbons” of quartz with mica. (Photograph by Carol Simpson.) (B) Banded granitic gneiss. (C) Banded gneiss and migmatite. The original rock was Precambrian, but it acquired a strongly foliated fabric during Cretaceous regional metamorphism and intrusion. Harquavar Mountains, western Arizona. (Photographs by S. J. Reynolds.)



**Figure 8.53** Flattened pebbles define a foliation in highly deformed Barnes Conglomerate (Precambrian), Tortolita Mountains, Arizona. (Photograph by G. H. Davis.)

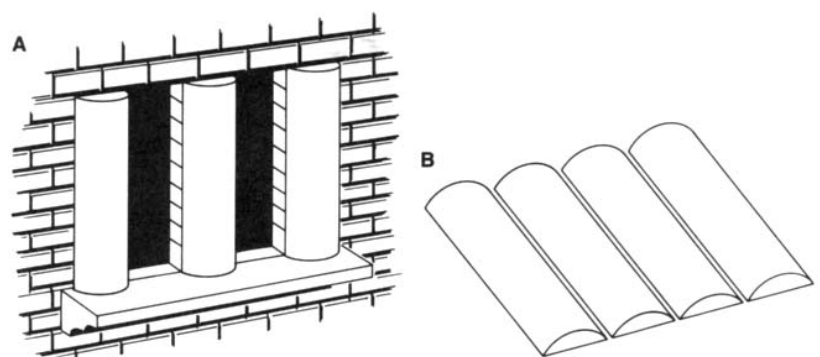


**Figure 8.55** (A) The microscopic texture of mylonite. The white represents fragmented grains (porphyroclasts) and breccia streaks. The black represents plastically deformed quartz. (B) The microscopic texture of ultramylonite. [From Higgins (1971). Courtesy of United States Geological Survey.]



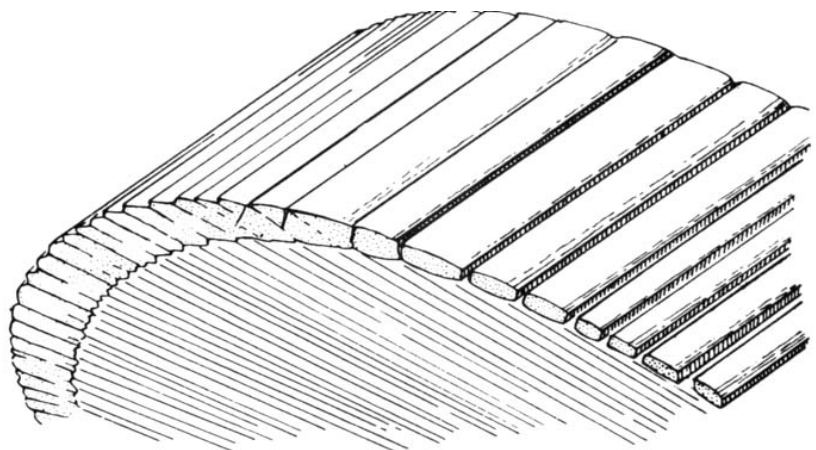
**Figure 8.60** These feldspar drawings by Evans B. Mayo illustrate the fabrics I saw in a granite outcrop in Norway. Both rocks appear to be foliated, yet one is and one is not. (A) This drawing shows a granite that contains foliation defined by feldspars, but no lineation. (B) This drawing shows a granite that contains lineation defined by feldspars, but no foliation.

**Figure 8.67** Architectural mullions (A) adorning a Gothic church and (B) lined up on the ground in a way resembles geologic mullions.

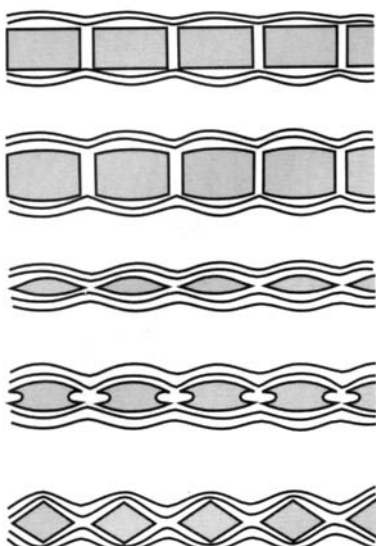




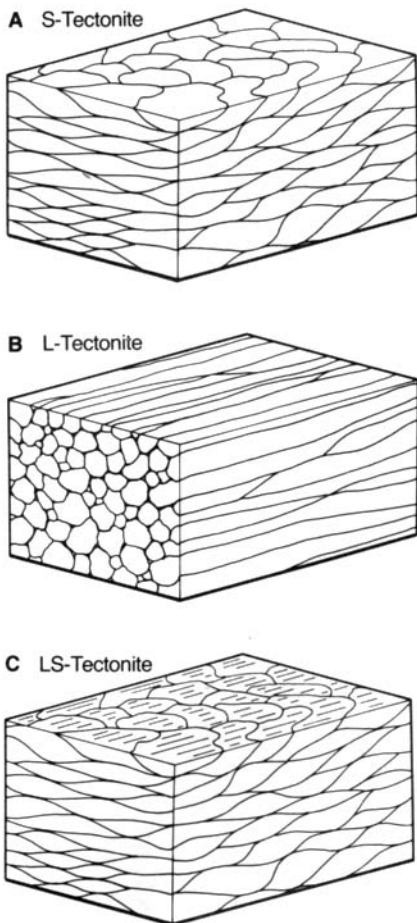
**Figure 8.68** (A) Outcrop expression of mullion structure, formed by cuspate–lobate folds along the interface between sandstone and slate. The locality is North Eifel, Germany. [Reprinted from *The techniques of modern structural geology*, V. 2: folds and fractures. J. G. Ramsay and M. I. Huber (1987), © by Harcourt Brace and Company Limited, with permission.] (B) Mullions form preferentially at the interface between mechanically soft vs. mechanically stiff rocks. Buckling instability due to layer parallel compression produces the cuspate–lobate pattern.



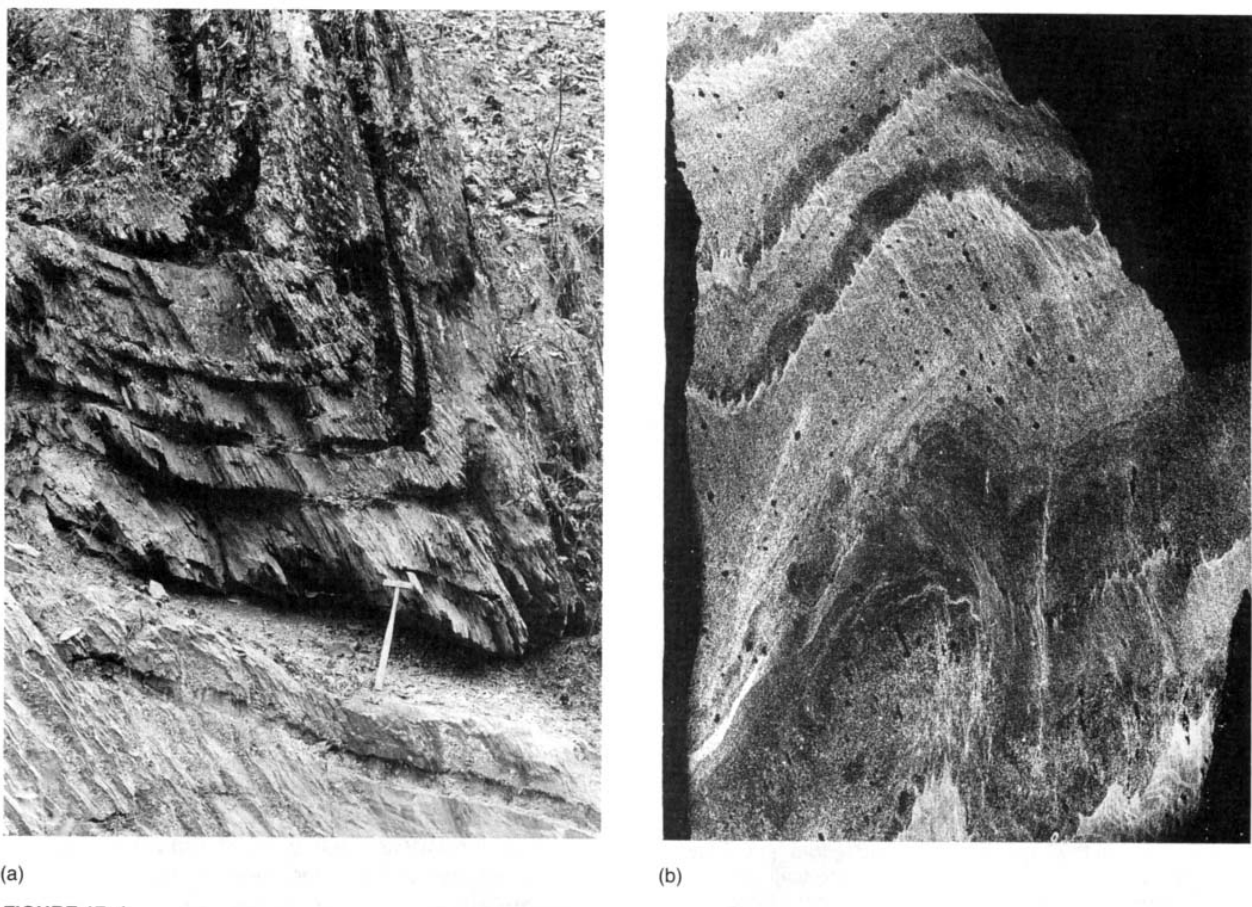
**Figure 8.70** Boudins on the flank of a fold.  
[From *Introduction to Small-Scale Geological Structures* by G. Wilson. Published with permission of George Allen & Unwin (Publishers) Ltd., London, copyright © 1982.]



**Figure 8.72** Some shapes of boudins.  
[After Ghosh (1993), Figure 17.6, p. 387.]



**Figure 8.78** Schematic portrayal of S-, L-, and LS-tectonites. (A) S-tectonites are marked by a single, penetrative foliation. (B) L-tectonites are marked by pervasive lineation, but no foliation. (C) LS-tectonites are marked both by foliation and lineation. The lineation in LS-tectonite lies in the plane of foliation.

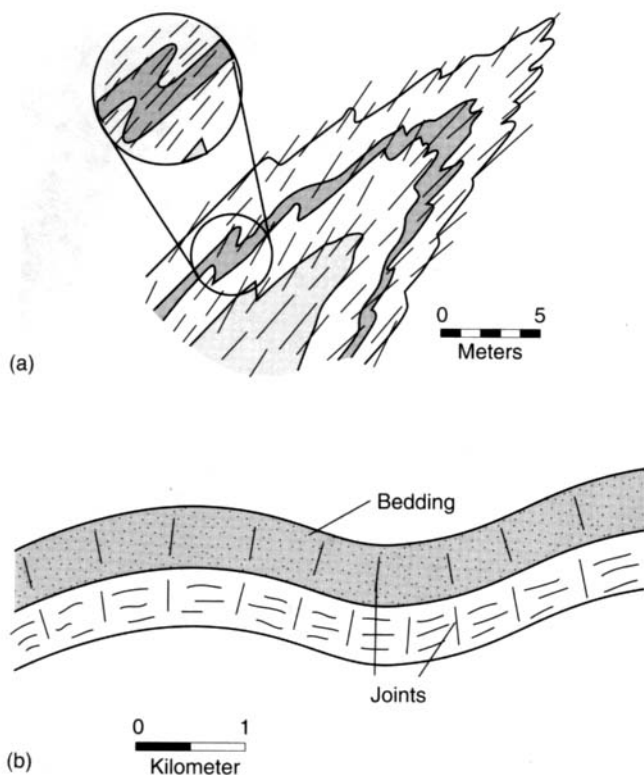


(a)

(b)

**FIGURE 17-1**

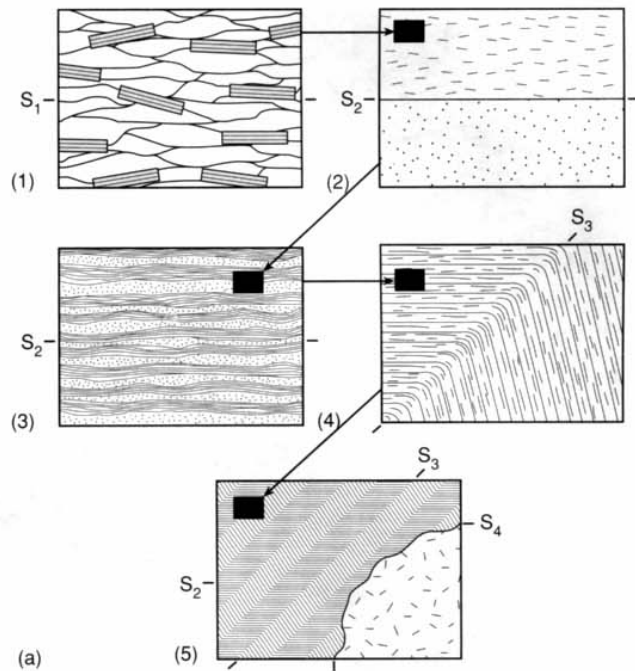
(a) Folded slate in Wilhite Formation (Ocoee Supergroup, Upper Proterozoic?) near Walland, Tennessee, showing bedding and penetrative axial-plane slaty cleavage. Note relationships of dip of cleavage and bedding on the upright and overturned limbs of the fold—cleavage dips more steeply than bedding on the upright limb, less steeply than bedding on the overturned limb. (Arthur Keith, U.S. Geological Survey.) (b) Negative print of a thin section of rhythmically graded bedded slate and metasiltstone from the Wilhite slate near Tellico Plains, Tennessee. Note the differences in spacing of cleavage (white lines nearly perpendicular to bedding) in finer-grained layers, and the near absence of cleavage in coarser-grained layers. Also note the cuspatelobate structure (cleavage mullions, see Chapter 18) on the bases of several of the dark (actually almost clear sandy) layers. Long axis of the thin section is 7 cm.

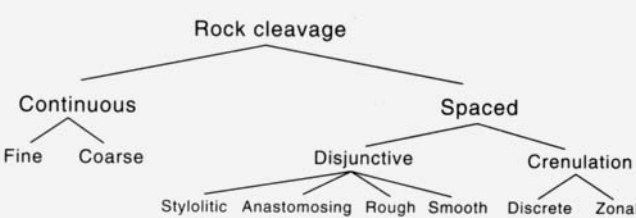
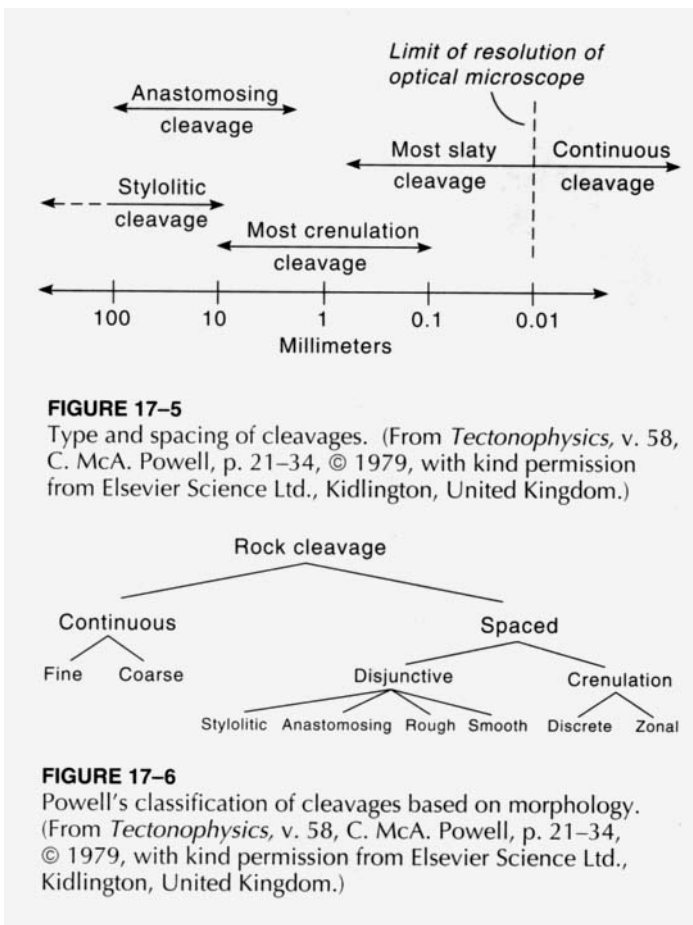
**FIGURE 17-2**

Penetrative and nonpenetrative structures. (a) Mesoscopic fold with small parasitic folds and an axial-plane foliation. Small folds and foliation are penetrative structures, for they occur throughout the larger fold. (b) Unique fold hinges and widely spaced joints which occur on only one scale and are not repeated on other smaller or larger scales are nonpenetrative.

**FIGURE 17–3**

(a) Planar discontinuities in the same body of rocks at several different scales. Microscopic scale (1) showing preferred orientation of grain boundaries and minerals defining a weakly penetrative planar structure  $S_1$ . Grains (2) define a penetrative planar structure  $S_1$  in the upper layer on the mesoscopic scale. The compositional boundary  $S_2$  is nonpenetrative on this scale. Alternating layers (3) parallel to  $S_2$  make  $S_2$  a penetrative structure at this scale (larger mesoscopic). Smaller map scale (4) in which  $S_3$  becomes a series of closely spaced kink surfaces and is penetrative. Map (macroscopic)-scale structures (5) in which a kink  $S_3$  divides the body into two sectors or domains having different strikes. Another nonpenetrative compositional boundary, an intrusive contact ( $S_4$ ), appears at this scale. (From F. J. Turner and L. E. Weiss, *Structural Analysis of Metamorphic Tectonites*, © 1963, McGraw-Hill Book Company. Reproduced with permission.) (b) Interlayered metasandstone and muscovite-biotite schist at Sill Vinson's Rock near Otto, North Carolina. Original bedding (now transposed) makes up the earliest foliation,  $S_1$ . A later foliation,  $S_2$ , dips toward the left (west) parallel to the axial surfaces of the folds. A later foliation—a crenulation cleavage,  $S_3$ —dips steeply to the right (east, visible above the small ledge) and parallels the axial surfaces of folds at the bottom of the photo. Crenulations occur here only in the schist because the sandstone layers are too quartz-rich. White layers are quartz-feldspar veins. Note that thin quartz-feldspar veins in schist form open to isoclinal ptygmatic folds. Sandstone layers are light gray; schist layers are dark gray. (RDH photo.)

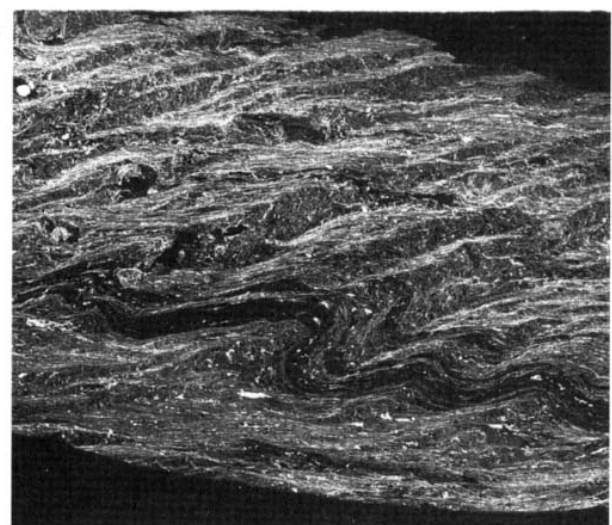




**FIGURE 17-6**  
 Powell's classification of cleavages based on morphology.  
 (From *Tectonophysics*, v. 58, C. McA. Powell, p. 21–34,  
 © 1979, with kind permission from Elsevier Science Ltd.,  
 Kidlington, United Kingdom.)

**FIGURE 17-9**

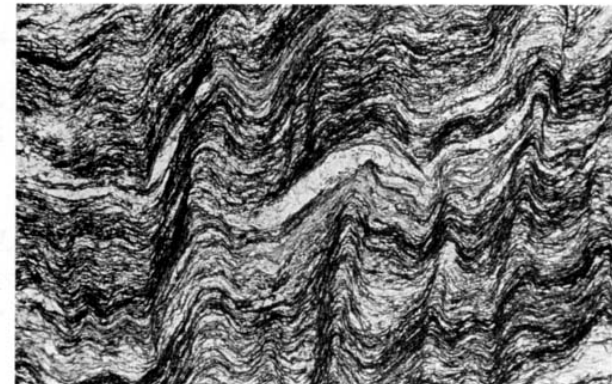
Scanning electron micrograph of domainal slaty cleavage from Upper Ordovician Martinsburg Slate near the Delaware River, Pennsylvania. Spacing between cleavage planes (strongly oriented narrow zones) is about 20  $\mu\text{m}$ . (From *Tectonophysics*, v. 82, B. G. Woodland, p. 89–124, © 1982, with kind permission from Elsevier Science Ltd., Kidlington, United Kingdom.)

**FIGURE 17-10**

Negative print of a thin section of garnet-muscovite schist from Einunnfjellet, southern Norway, containing crenulations superposed onto an older foliation that is parallel to bedding. Thin section is 3.8 cm long. (Specimen courtesy of Elizabeth A. McClellan, Western Kentucky University.)



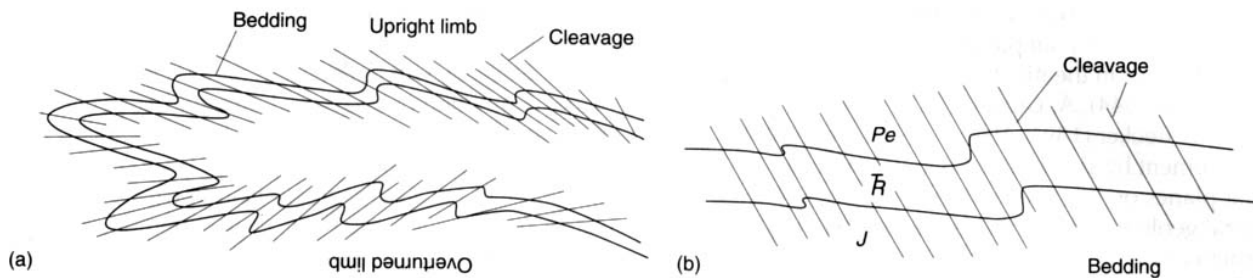
(a)



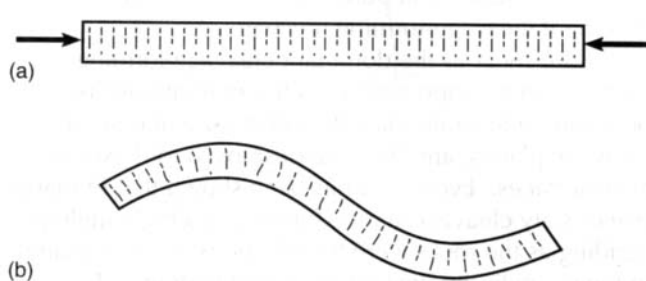
(b)

**FIGURE 17-11**

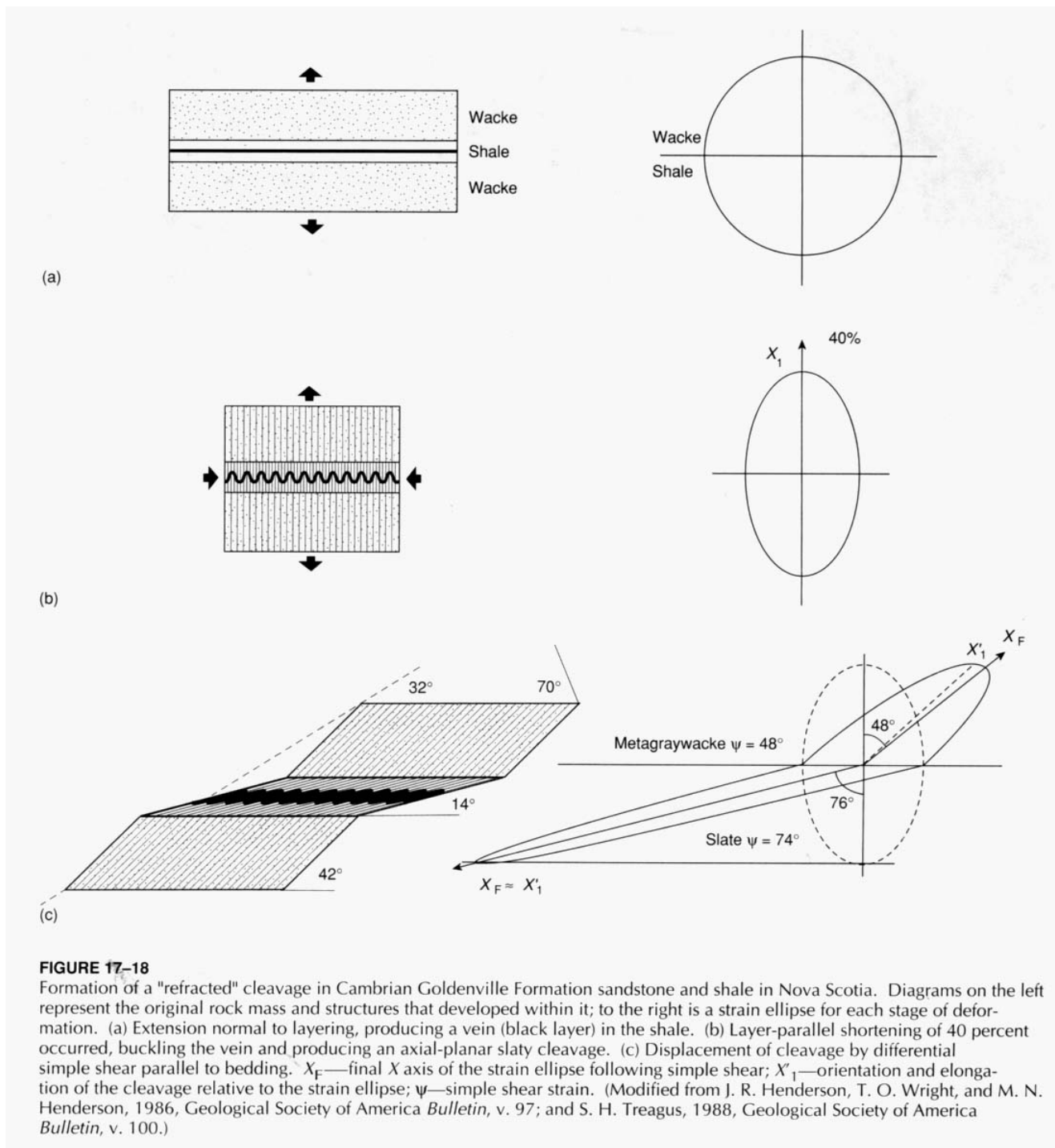
Microlithons of earlier deformed material between crenulations at both meso- (a) and micro- (b) scales: (a) Crenulated siltstone in the Upper Proterozoic Hamill Group near Golden, southern British Columbia. (RDH photo.) (b) Chlorite schist from the Wissahickon Group near Westminster, Maryland. Plane light. Width of field is approximately 7 mm. (Charles M. Onasch, Bowling Green State University.)

**FIGURE 17-15**

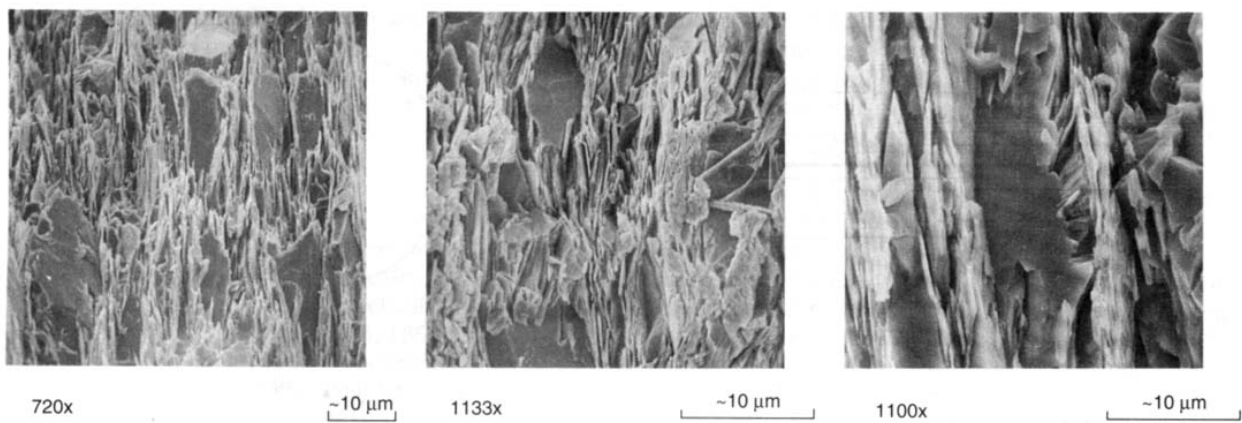
Cleavage-bedding relationship and its use in determining relative position in a fold. (a) Relationships between orientation of cleavage surfaces and the position on an upright or overturned limb. (b) Cleavage-bedding relationships indicating that the rocks are upright in a sequence that is really overturned, thus showing that the cleavage was emplaced after overturning. J—Jurassic; K—Triassic; Pe—Permian.

**FIGURE 17-17**

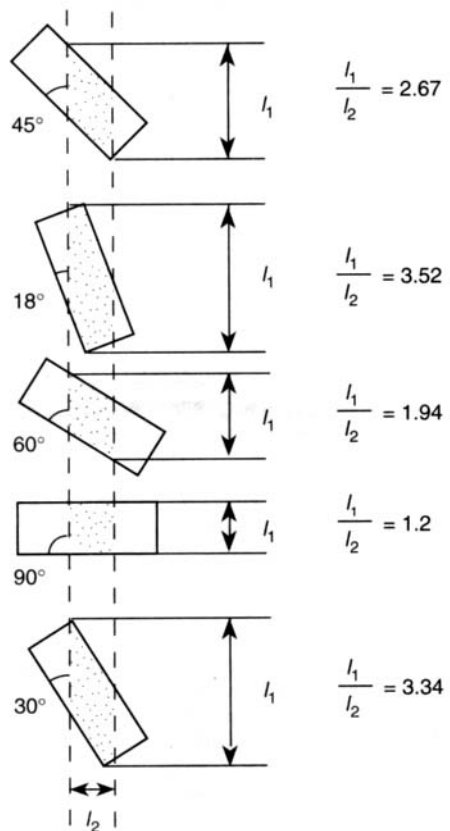
Formation of a fanned cleavage (b) by the cleavage forming by layer-parallel shortening before or during the early stages of folding (a).

**FIGURE 17-18**

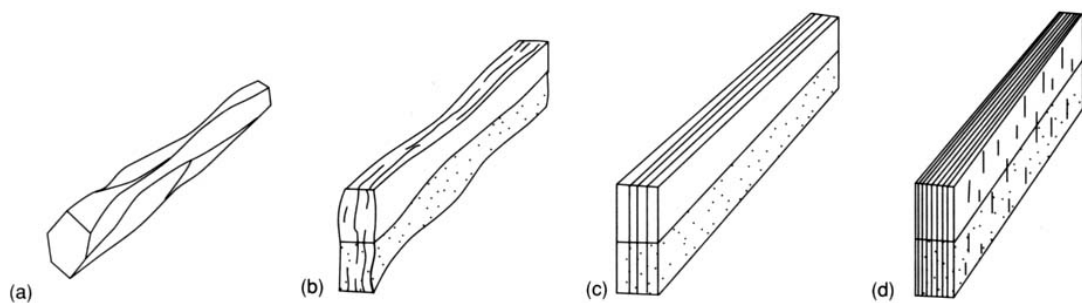
Formation of a "refracted" cleavage in Cambrian Goldenville Formation sandstone and shale in Nova Scotia. Diagrams on the left represent the original rock mass and structures that developed within it; to the right is a strain ellipse for each stage of deformation. (a) Extension normal to layering, producing a vein (black layer) in the shale. (b) Layer-parallel shortening of 40 percent occurred, buckling the vein and producing an axial-planar slaty cleavage. (c) Displacement of cleavage by differential simple shear parallel to bedding.  $X_F$ —final  $X$  axis of the strain ellipse following simple shear;  $X'_1$ —orientation and elongation of the cleavage relative to the strain ellipse;  $\psi$ —simple shear strain. (Modified from J. R. Henderson, T. O. Wright, and M. N. Henderson, 1986, Geological Society of America *Bulletin*, v. 97; and S. H. Treagus, 1988, Geological Society of America *Bulletin*, v. 100.)

**FIGURE 17-19**

Scanning electron micrographs of reoriented and recrystallized micas in mica beards in Ordovician slate from the south shore of New World Island, Newfoundland. (From B. A. Van der Pluijm, 1984, *Geologische Rundschau*, v. 73.)

**FIGURE 17-20**

Corrosion of grains in different orientations to produce new shapes (stippled) proportional to grain orientation. Dashed lines indicate the initial locations of rock cleavage surfaces, and all material outside those lines is removed. New axial ratios are shown as  $l_1/l_2$  from an initial ratio for all grains of 2.64. This mechanism would thus not produce any crystallographic orientation. (From E. C. Beutner, Slaty cleavage and related strain in Martinsburg Slate, Delaware Water Gap, New Jersey, January 1978, *American Journal of Science*, v. 278, p. 1–23. Reprinted by permission of *American Journal of Science*.)

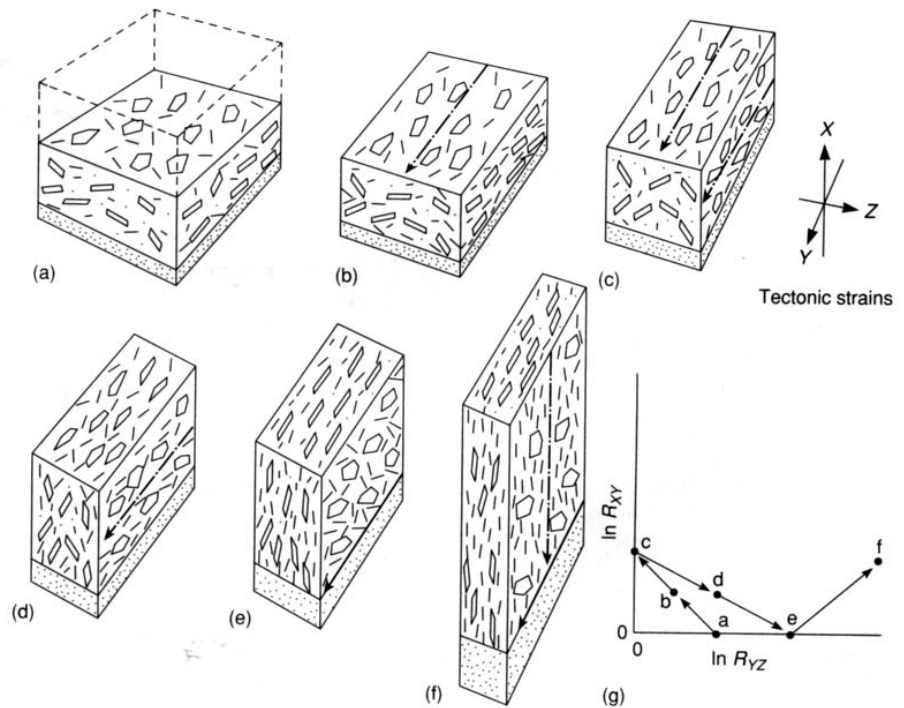
**FIGURE 17-22**

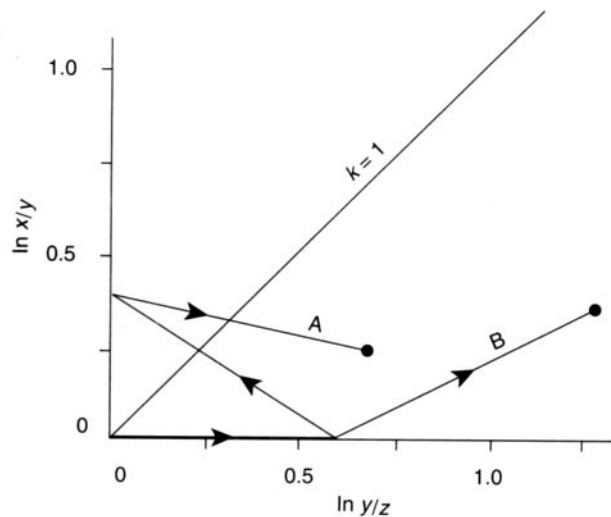
Stages of cleavage development: (a) Pencil structure. (b) Embryonic cleavage stage. (c) Cleavage stage with accompanying lineation formed by intersection of cleavage and bedding. (d) Well-developed cleavage with mineral lineation. (After J. G. Ramsay and Martin Huber, 1983, *The Techniques of Modern Structural Geology: Volume 1: Strain Analysis*, Academic Press.)



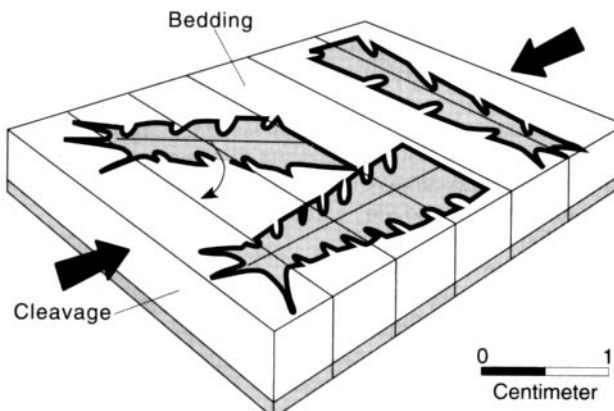
**FIGURE 17-23**  
Large pencils in siltstone in the Upper Proterozoic(?) Sandsuck Formation near Reliance, Tennessee. (Locality courtesy of J. O. Costello, Georgia Marble Company. RDH photo.)

**FIGURE 17-24**  
Relationships between two-dimensional strains and the organization of planar fabrics in rocks; (a) represents the compaction stage; (b) involves the first deformation and minor reorganization of grains; (c) involves development of pencils; (d) is the embryonic cleavage development stage; (e) is the stage of development of a well-developed cleavage; (f) is the stage of further cleavage development where a prominent mineral lineation forms. The Flinn diagram (g) indicates the deformation path from one stage to another.  $R_{xy}$  is  $x/y$ ,  $R_{yz}$  is  $y/z$ . (From J. G. Ramsay and Martin Huber, 1983, *The Techniques of Modern Structural Geology: Volume 1: Strain Analysis*, Academic Press.)

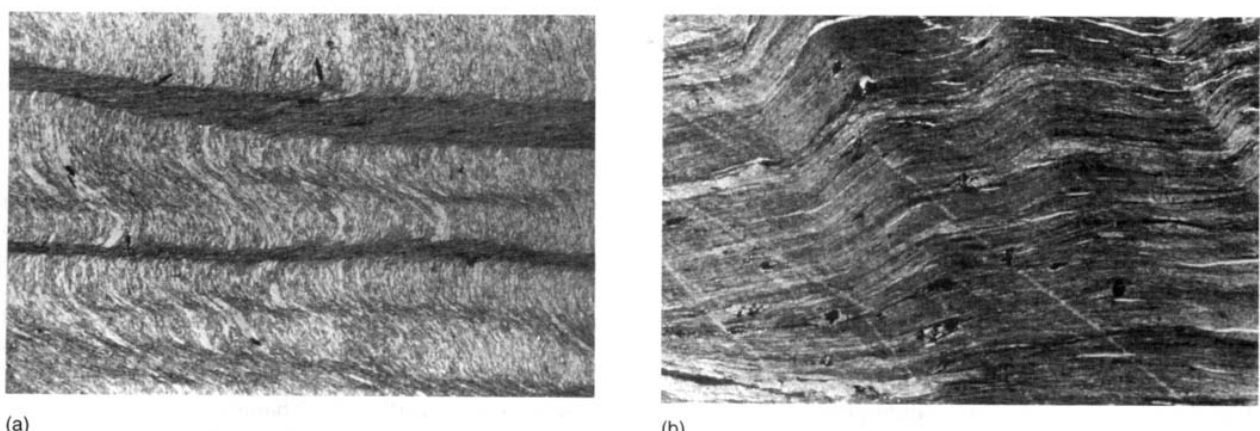


**FIGURE 17-25**

Flinn diagram of strain paths derived from study of strain indicators in hinges (curve A) and limbs (curve B) of near-isoclinal folds in the Hamburg sequence near Shartlesville, Pennsylvania. Note that the strain in fold hinges (A) was traced from the field of increasing dominant flattening strain to the dominant extension strain field, back into dominant flattening, but with a strong component of triaxial strain. Strain in the limbs of the fold remains in the dominant flattening field and traces toward a greater component of triaxial strain. (From E. C. Beutner and E. G. Charles, 1985, *Geology*, v. 13.)

**FIGURE 17-26**

Relationship of graptolites on a bedding plane to shortening across cleavage. Graptolites parallel to the trace of cleavage on bedding are narrower than usual; those perpendicular to the cleavage trace are shorter. The original spacing of indentations (thecae) on each graptolite is constant for both adults and juveniles of the same species, and so the amount of shortening in any direction can be attributed to tectonic strain. Large arrows on ends of diagram indicate shortening direction; small arrow on obliquely oriented graptolite indicates that it would undergo clockwise (dextral) rotation with the shortening indicated, while the other two graptolites, because of their orientation parallel and normal to the shortening directions, undergo no rotation. (From T. O. Wright and Lucian Platt, 1982, Pressure dissolution and cleavage in the Martinsburg shale, *American Journal of Science*, v. 282, p. 122–135. Reprinted by permission of American Journal of Science.)

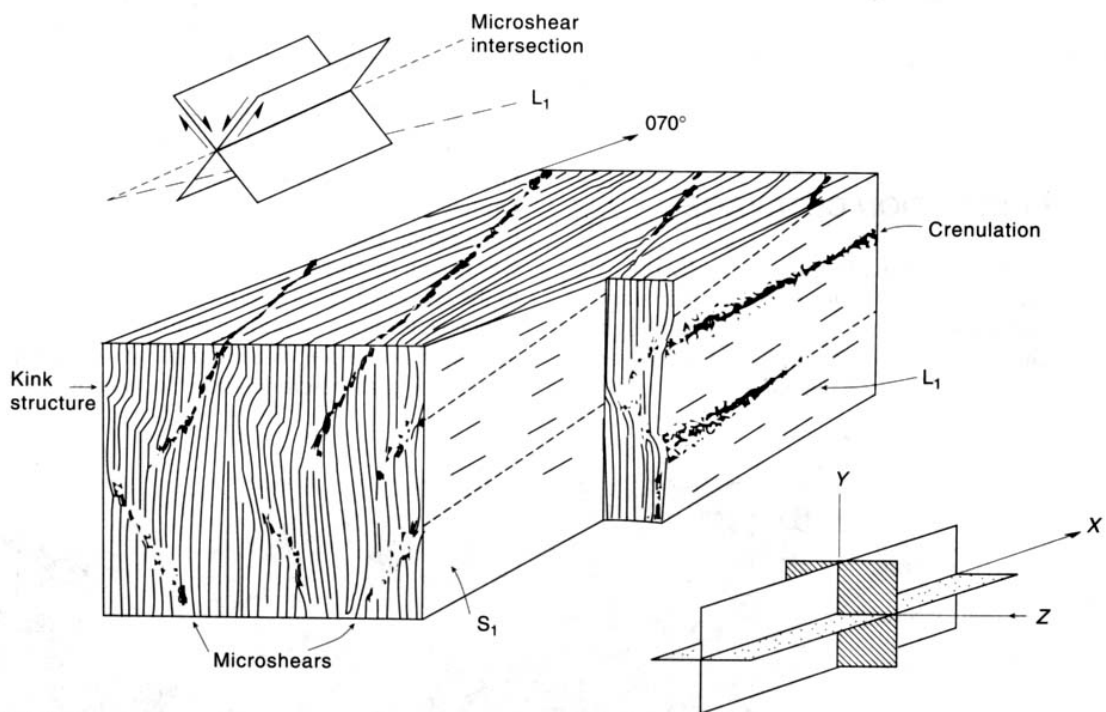


(a)

(b)

**FIGURE 17-28**

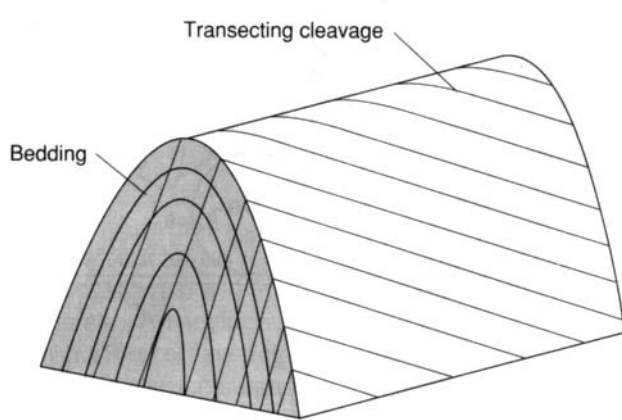
(a) Discrete crenulations in Lower Silurian Vakdal Formation phyllite near Ulven, southeastern Norway. Plane light. Width of field is approximately 16 mm. (b) Zonal crenulations in (Ordovician?) Mineral Bluff Formation phyllite near Murphy, North Carolina. Plane light. Width of field is approximately 16 mm. (RDH photos.)

**FIGURE 17-29**

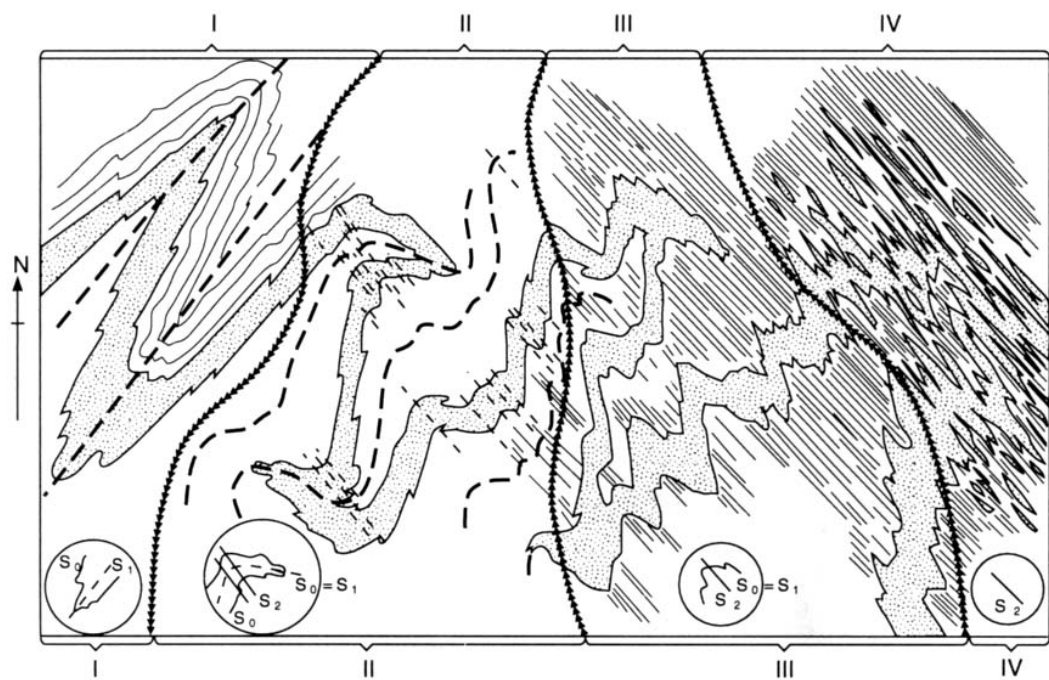
Vertical  $S_1$  cleavage surfaces, arbitrarily oriented ENE, containing a subhorizontal mineral lineation ( $L_1$ ). Sections cut normal to  $X$ ,  $Y$ , and  $Z$  show relationships of microshears, crenulations, and kinks to principal planes of the strain ellipsoid. (Reprinted from *Journal of Structural Geology*, v. 1, S. K. Hanmer, p. 81–91, © 1979, with kind permission from Elsevier Science, Ltd., Kidlington, United Kingdom.)



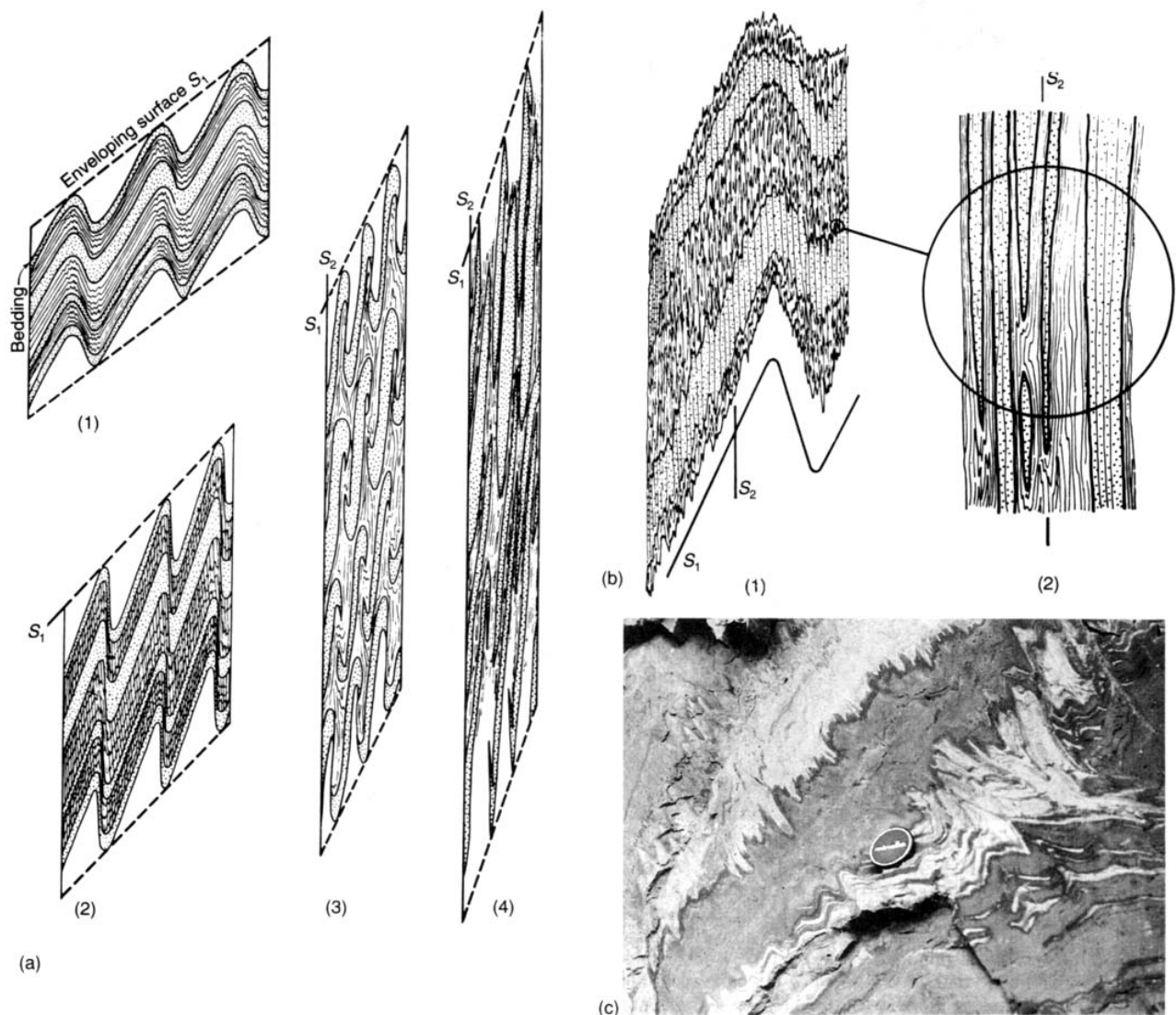
**FIGURE 17–30**  
Transected fold in Devonian slate from near Zell, Mosel Valley, Germany. The transecting cleavage ( $S_2$ ) forms an intersection lineation that obliquely crosses the  $F_2$  fold shown here. (From G. J. Borradaile, M. B. Bayly, and C. McA. Powell, eds., *Atlas of Metamorphic and Deformational Rock Fabrics*, © 1982, Springer-Verlag. Reproduced with permission.)



**FIGURE 17–31**  
Transected fold showing relationships between the hinge and parallel cleavage.

**FIGURE 17-32**

Progressive deformation and transposition of earlier bedding and cleavage (left side), producing a rock mass containing layers that are all parallel (right side). Roman numerals are stages of progressive deformation. Heavy dashed lines, some labeled  $S_1$  or  $S_2$ , represent axial surfaces of folds with parallel development of a foliation. The first development of parallelism between  $S_0$  and  $S_1$ —transposition of bedding into the first foliation—occurs during the first isoclinal folding event.  $S_1$  is then reoriented by progressive deformation into parallelism with  $S_2$ . (From F. J. Turner and L. E. Weiss, *Structural Analysis of Metamorphic Tectonites*, © 1963, McGraw-Hill Book Company. Reproduced with permission.)

**FIGURE 17-33**

(a) Relationship between transposition of layering and hinges on the overturned (short) limbs of small folds that have been progressively removed by ductile flow or pressure solution. (b) Incipient transposition in a cleavage-dominated rock mass with closeup of bedding showing reorientation by deformation. (a and b from F. J. Turner and L. E. Weiss, *Structural Analysis of Metamorphic Tectonites*, © 1963, McGraw-Hill Book Company. Reproduced with permission.) (c) Incipient transposition of bedding in interlayered slate (dark) and fine-grained metasiltstone (light-colored) in Upper Proterozoic(?) Wilhite Formation slate, Ocoee Gorge, southeastern Tennessee. (RDH photo.)